

---

# **3. Stationäres Verhalten von Messsystemen**

## **3. Stationäres Verhalten von Messsystemen**

- 3.1 Stationäre Messkennlinie und deren Fehler
- 3.2 Kennlinienfehler unter Normalbedingungen
- 3.3 Kennlinienfehler bei Abweichungen  
von den Normalbedingungen
- 3.4 Rückwirkung des Messsystems

### 3 Stationäres Verhalten von Messsystemen

---

- Stationärer Zustand:
  - Alle Einschwingvorgänge sind abgeklungen
  - Z. B. stabile Anzeige am Messsystem
  - Bestimmung des Verhaltens des Messsystems alleine durch die stationäre Messkennlinie

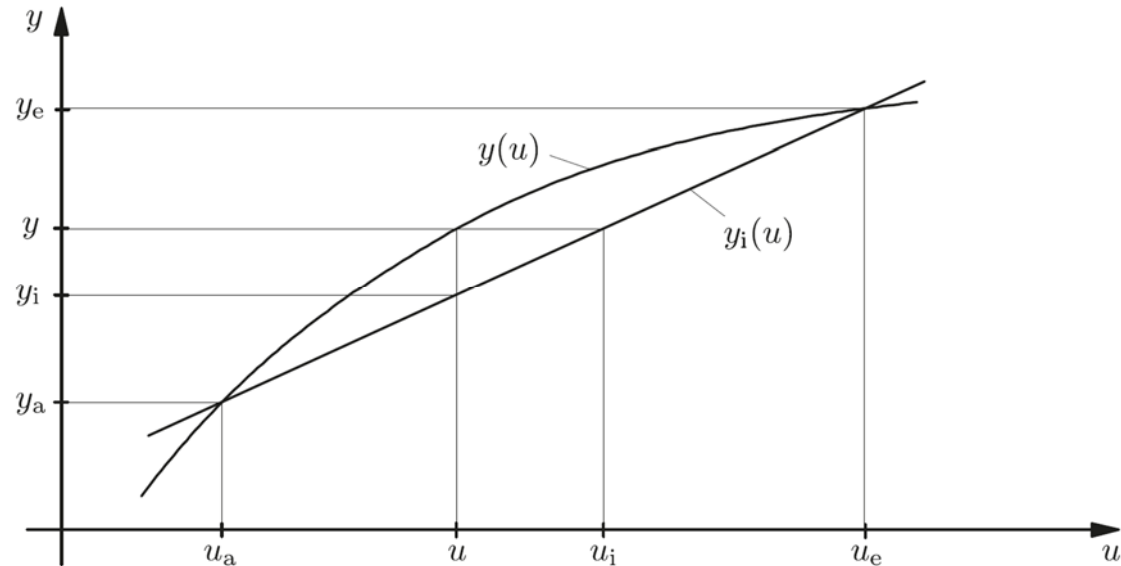
## 3.1 Stationäre Messkennlinie und deren Fehler

### Ideale und reale Messkennlinie

- **Stationäre Messkennlinie**

$y(u)$ : funktionaler Zusammenhang zwischen Messwerten  $u$  und Anzeigewerten  $y$  im stationären Zustand

- Jetzt zunächst Vernachlässigung von Störungen  $z$



- **Messbereich**  $[u_a, u_e]$ : Bereich, in dem die Messwerte  $u$  liegen können

- **Anzeigebereich**  $[y_a, y_e]$ : Bereich, in dem die Anzeigewerte  $y$  liegen können

- **Empfindlichkeit**  $S(u)$  (engl. Sensitivity): Steigung der Messkennlinie:

$$S(u) = \frac{\partial y(u)}{\partial u} = \frac{\partial f(u)}{\partial u}$$

i. a. Funktion der Messgröße  $u$ : d. h. nichtlineares Verhalten der (realen) Messkennlinie

## 3.1 Stationäre Messkennlinie und deren Fehler

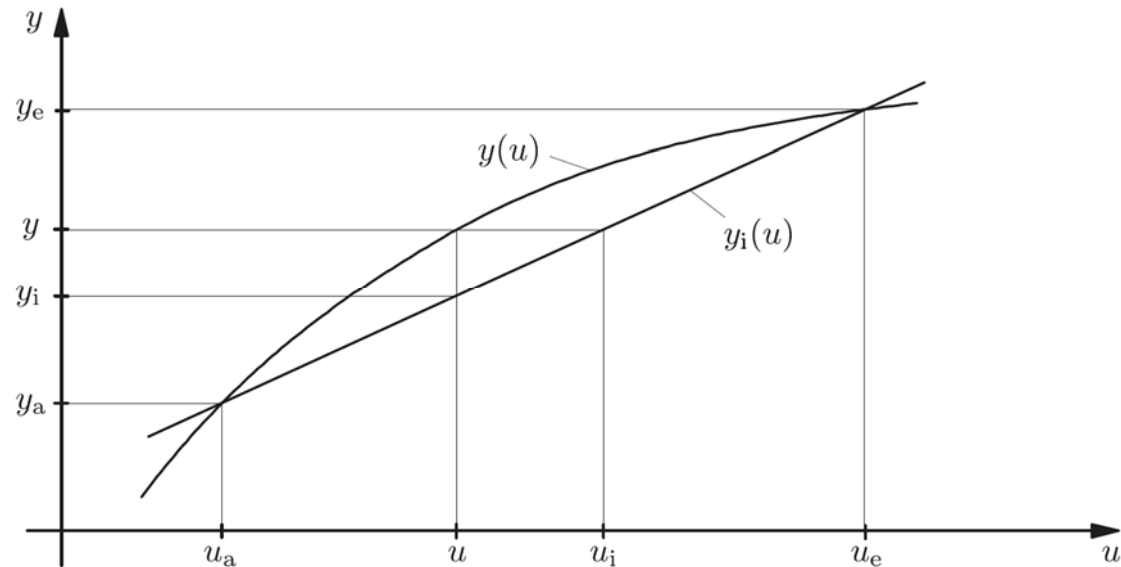
### Ideale und reale Messkennlinie

- **Ideale Kennlinie:**  
Häufig gemachte Vereinfachung der realen Messkennlinie durch Verbindung von Messanfang  $(u_a, y_a)$  und Messende  $(u_e, y_e)$  zu einer linearen Kennlinie  $y_i(u)$  mit konstanter Steigung

$$S_i = \frac{y_e - y_a}{u_e - u_a} \text{ (ideale Empfindlichkeit):}$$

$$y_i(u) = S_i(u - u_a) + y_a$$

- Gleich große Änderungen der Messgröße gehen dann mit der gleichen Empfindlichkeit in die Messanzeige ein
- Im folgenden: Analyse der Fehler, die durch Verwendung der idealen anstelle einer realen nichtlinearen Kennlinie entstehen



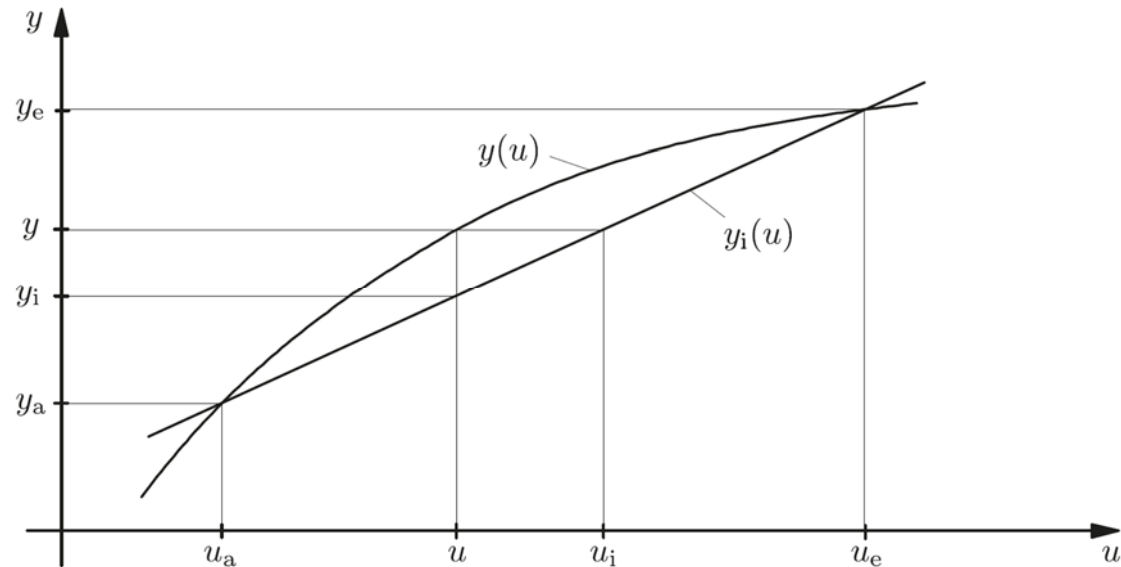
Bildquelle: F. Puente León: Messtechnik, 10. Auflage, Springer, 2015

© Michael Heizmann, IIT, KIT, alle Rechte einschließlich Kopier- und Weitergaberechte bei uns.

## 3.1 Stationäre Messkennlinie und deren Fehler

### Ideale und reale Messkennlinie

- Ideale Messkennlinie führt zu fehlerhafter Zuordnung von Messwert und Anzeigewert:
  - **Idealer Messwert**  $u_i$ : resultiert bei Annahme einer idealen (linearen) Kennlinie aus dem tatsächlichen Anzeigewert  $y$
  - **Idealer Anzeigewert**  $y_i$ : resultiert bei Annahme einer idealen (linearen) Kennlinie aus dem tatsächlichen Messwert  $u$



Bildquelle: F. Puente León: Messtechnik, 10. Auflage, Springer, 2015

© Michael Heizmann, IIT, KIT, alle Rechte einschließlich Kopier- und Weitergaberechte bei uns.

### Abgleich der Messkennlinie

- Zunächst Herstellung der Normalbedingungen des Messsystems (gemäß Spezifikation): Äußere Störgrößen konstant halten bzw. durch Abschirmung/Filterung fernhalten
- Einstellvorgang, um das Messsystem gemäß seiner technischen Beschreibung für die vorgesehen Messaufgabe tauglich zu machen:

#### **Abgleich oder Justierung:**

Physikalischer Eingriff in das Gerät oder seine Maßverkörperung mit dem Ziel, den Messbereich auf den vorgesehenen Bereich der Ausgabeeinrichtung, des Ausgangssignals oder der Anzeige abzubilden

- Vom Abgleichen/Justieren zu unterscheiden:  
**Eichen:** gesetzlich festgelegte Maßnahme durch amtliche Prüfbehörden (z. B. für den Handel)  
siehe Vorlesung Fertigungsmesstechnik

## 3.1 Stationäre Messkennlinie und deren Fehler

---

### Abgleich der Messkennlinie

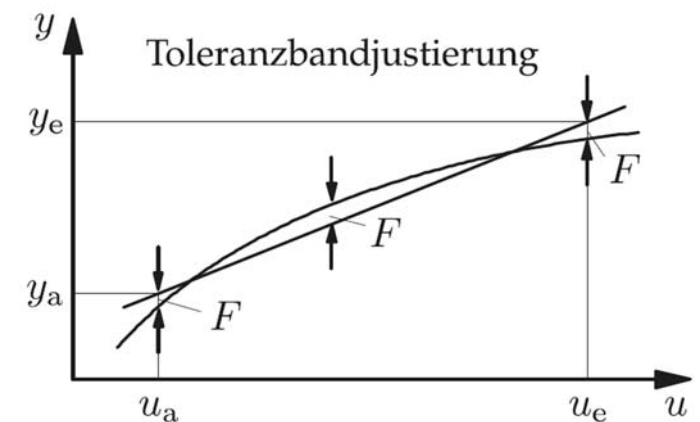
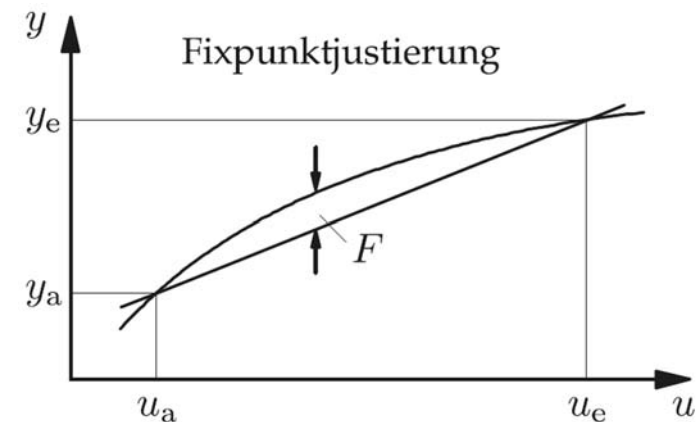
- Beispiel: Justierung eines Temperaturmessgeräts:
  - Messbereich  $[20\text{ °C}, 100\text{ °C}]$  soll auf den Anzeigebereich  $[0\text{ \%}, 100\text{ \%}]$  abgebildet werden
  - Anzeigegröße: elektrische Spannung  $U$  im Bereich  $[2\text{ mV}, 300\text{ mV}]$
  - Anzeige mittels Zeigerinstrument mit Skala
  - Ziel der Justierung: möglichst kleine Fehler an den Rändern des Messbereichs, d. h. bei  $U = 2\text{ mV}$  soll der Zeiger am Anfangspunkt der Skala ( $20\text{ °C}$ ) stehen und bei  $U = 300\text{ mV}$  soll der Zeiger am Endpunkt der Skala ( $100\text{ °C}$ ) stehen



## 3.1 Stationäre Messkennlinie und deren Fehler

### Abgleich der Messkennlinie

- Zwei Eingriffsmöglichkeiten für den Abgleich einer (linearen) Messkennlinie: additive Verschiebung und multiplikative Drehung
- Gebräuchliche Verfahren:
  - **Fixpunktjustierung:** Justierung für Messanfang ( $u_a, y_a$ ) und Messende ( $u_e, y_e$ ), d. h. Messkennlinie geht durch diese Punkte hindurch, dort verschwinden die Messfehler  
Messbereich  $[u_a, u_e]$  wird auf den Anzeigebereich  $[y_a, y_e]$  abgebildet
  - **Toleranzbandjustierung:** zusätzliche additive Verschiebung der Fixpunktjustierung  
Ziel: Minimierung des maximalen Fehlers  $F$  im Messbereich  
Messkennlinie geht nicht mehr durch Messanfang und Messende



## 3.1 Stationäre Messkennlinie und deren Fehler

---

### Abgleich der Messkennlinie

- In der Praxis: eher Fixpunktjustierung, um Aufwand zu reduzieren
- Abgleich unter Normalbedingungen: Festlegung eines Störgrößenvektors  $\mathbf{z}_0$
- Damit Justierung der physikalischen Messkennlinie  $y(u, \mathbf{z})$  so, dass die Kennlinie durch den Messanfang  $(u_a, y_a)$  und das Messende  $(u_e, y_e)$  verläuft:  $y_a = f(u_a, \mathbf{z}_0)$ ,  $y_e = f(u_e, \mathbf{z}_0)$
- Nullpunktfehler (Offset):  $e(\mathbf{z}) = f(u_a, \mathbf{z}) - y_a$   
verschwindet unter Normalbedingungen:  $e(\mathbf{z}_0) = f(u_a, \mathbf{z}_0) - y_a = 0$

## 3.1 Stationäre Messkennlinie und deren Fehler

---

### Kennlinienfehler bei realer Kennlinie

- Nach Justierung eines Messsystems: verbleibende systematische Fehler werden als Kennlinienfehler bezeichnet:
  - Nichtlinearitäten der realen Kennlinie
  - Einfluss von Störgrößen  $z \neq z_0$

## 3.1 Stationäre Messkennlinie und deren Fehler

### Relativer Kennlinienfehler $F_r$

- Entsteht durch Bezug der Messgröße  $u$  auf den Messanfang  $u_a$ :

$$F_r = \frac{(u_i - u_a) - (u - u_a)}{u - u_a} = \frac{u_i - u}{u - u_a}$$

- Angabe mittels Anzeigegrößen:

- Mit  $y - y_a = S_i(u_i - u_a)$ ,

$$y_i - y_a = S_i(u - u_a),$$

$$y - y_i = S_i(u_i - u) \text{ folgt:}$$

$$F_r = \frac{y - y_i}{S_i} \frac{S_i}{y_i - y_a} = \frac{y - y_i}{y_i - y_a}$$

(Bezug auf  $y_i - y_a$ : Anzeigespanne)

- Andere übliche Definitionen:

- Bezug auf Anzeigebereich  $y_e - y_a$ :

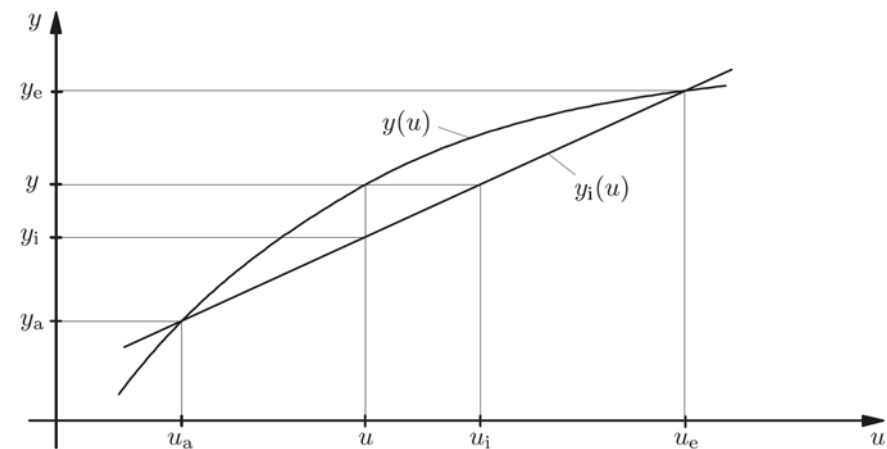
$$F_r = \frac{y - y_i}{y_e - y_a}$$

- Bezug auf den Sollwert  $y_i$ :

$$F_r = \frac{y - y_i}{y_i}$$

- Bezug auf den Endwert  $y_e$ :

$$F_r = \frac{y - y_i}{y_e}$$



Bildquelle: F. Puente León: Messtechnik, 10. Auflage, Springer, 2015

© Michael Heizmann, IIT, KIT, alle Rechte einschließlich Kopier- und Weitergaberechte bei uns.

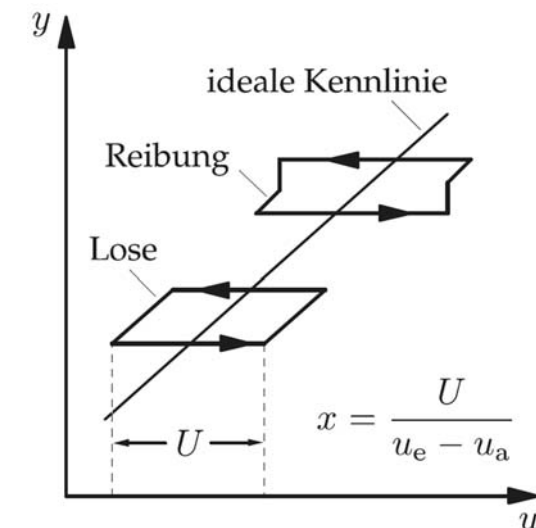
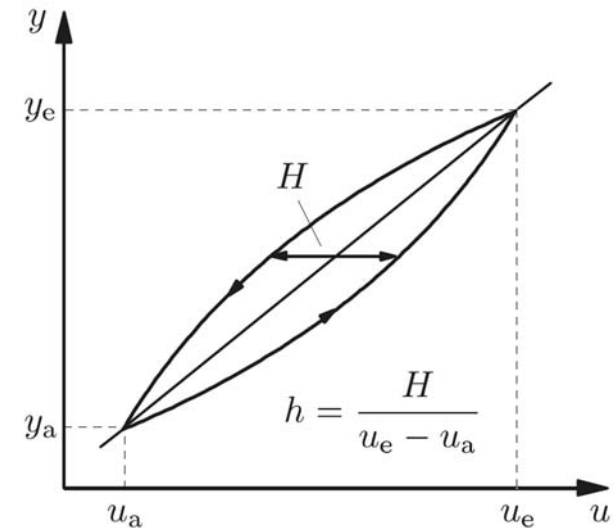
### Hysteresese und Umkehrspanne

- Beobachtung: Ausgangsgröße  $y$  kann unterschiedlich sein, wenn eine Messgröße  $u$  „von unten“ oder „von oben“ angefahren wird
- Tritt v. a. bei Geräten mit mechanischen Teilen auf, mögliche Ursachen:
  - (Haft-)Reibung: Anzeigegröße  $y$  ändert sich sprunghaft bei Überwindung der Haftreibung
  - Spiel (Lose), Hemmungen

## 3.1 Stationäre Messkennlinie und deren Fehler

### Hysterese und Umkehrspanne

- Hysterese:
  - Messgröße wird langsam vom Messanfang  $u_a$  bis zum Messende  $u_e$  gesteigert und langsam reduziert
  - Hysterese: größte auftretende Differenz  $H$  der Messgröße zwischen den Kennlinien, Bezug auf Messbereich:  $h = \frac{H}{u_e - u_a}$
- Umkehrspanne:
  - Geringe Änderung der Messgröße
  - Umkehrspanne: größte Abweichung  $U$  zwischen Steigerung und Reduktion, Bezug auf Messbereich:  $x = \frac{U}{u_e - u_a}$



Bildquelle: F. Puente León: Messtechnik, 10. Auflage, Springer, 2015

© Michael Heizmann, IIT, KIT, alle Rechte einschließlich Kopier- und Weitergaberechte bei uns

## 3.1 Stationäre Messkennlinie und deren Fehler

---

### Hysterese und Umkehrspanne

- Falls Umkehrspanne vorhanden ist, dann auch Hysterese
- Umgekehrt nicht unbedingt: Hysterese kann durch innere Störgrößen verursacht werden, die für kleine Änderungen der Messgröße verschwinden

Beispiel: elastische Nachwirkung von Messfedern

## 3.1 Stationäre Messkennlinie und deren Fehler

---

### Abschätzung des Kennlinienfehlers

- Grundlage: relativer Kennlinienfehler  $F_r = \frac{y - y_i}{y_i - y_a}$
- Jetzt Betrachtung von äußeren Störgrößen  $z$  und Nichtlinearitäten der Kennlinie als Fehler



## 3.1 Stationäre Messkennlinie und deren Fehler

### Abschätzung des Kennlinienfehlers

- Betrachtung der realen Empfindlichkeit

$$S(u, \mathbf{z}) = \frac{\partial y(u, \mathbf{z})}{\partial u} = \frac{\partial f(u, \mathbf{z})}{\partial u},$$

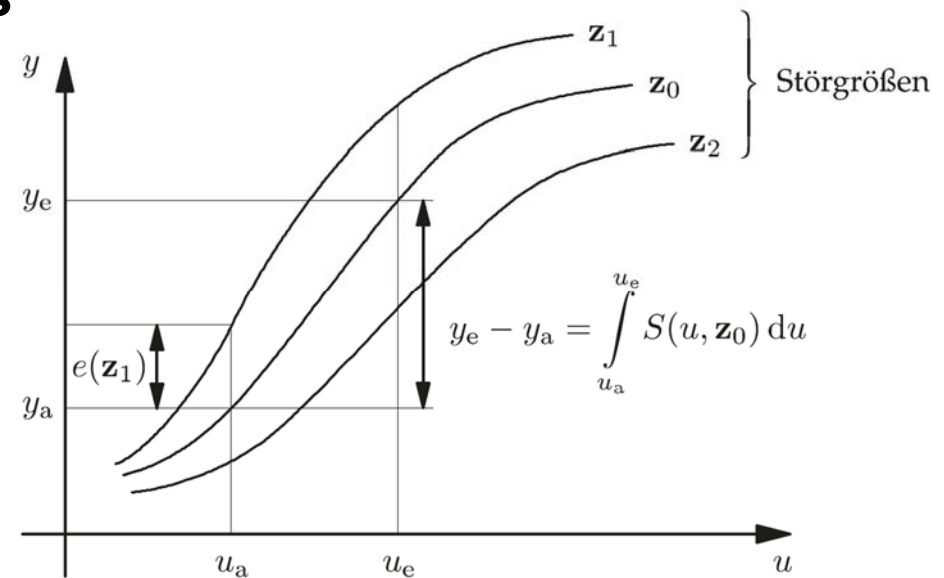
dadurch Berechnung der realen (stationären) Kennlinie im Messbereich  $[u_a, u_e]$ :

$$y = f(u_a, \mathbf{z}) + \int_{u_a}^u S(u, \mathbf{z}) du$$

$$\Rightarrow y - y_a = \int_{u_a}^u S(u, \mathbf{z}) du + \underbrace{f(u_a, \mathbf{z}) - y_a}_{e(\mathbf{z})} = \int_{u_a}^u S(u, \mathbf{z}) du + e(\mathbf{z})$$

$e(\mathbf{z})$ : Nullpunktfehler

- Nullpunktfehler  $e(\mathbf{z})$ : im Abgleich ( $\mathbf{z} = \mathbf{z}_0$ ):  $e(\mathbf{z}_0) = 0$  (s. o.)



Bildquelle: F. Puente León: Messtechnik, 10. Auflage, Springer, 2015

© Michael Heizmann, IIT, KIT, alle Rechte einschließlich Kopier- und Weitergaberechte bei uns.

## 3.1 Stationäre Messkennlinie und deren Fehler

### Abschätzung des Kennlinienfehlers

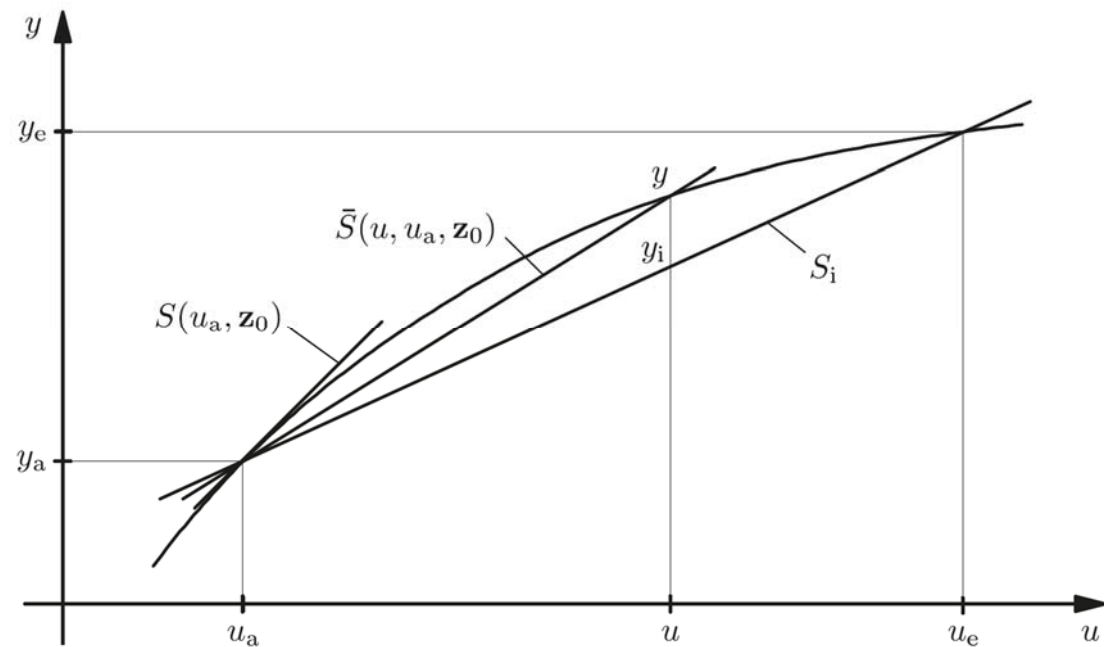
- Mittlere Empfindlichkeit  $\bar{S}(u, u_a, \mathbf{z}_0)$  im Abgleich:

$$y - y_a = \int_{u_a}^u S(u, \mathbf{z}_0) du \stackrel{!}{=} \bar{S}(u, u_a, \mathbf{z}_0) \cdot (u - u_a)$$

$$\Rightarrow \bar{S}(u, u_a, \mathbf{z}_0) = \frac{1}{u - u_a} \int_{u_a}^u S(u, \mathbf{z}_0) du = \frac{y - y_a}{u - u_a}$$

- Für das Messende  $(u_e, y_e)$ :

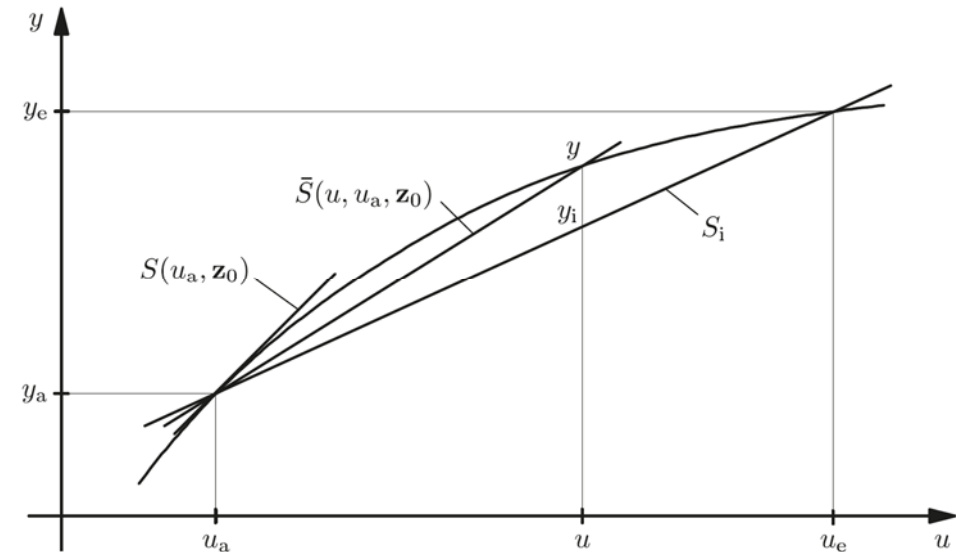
$$\begin{aligned} \bar{S}(u_e, u_a, \mathbf{z}_0) &= \frac{1}{u_e - u_a} \int_{u_a}^{u_e} S(u, \mathbf{z}_0) du \\ &= \frac{y_e - y_a}{u_e - u_a} \\ &= S_i \text{ (ideale Empf.)} \end{aligned}$$



## 3.1 Stationäre Messkennlinie und deren Fehler

### Abschätzung des Kennlinienfehlers

- Abweichung der mittleren Empfindlichkeit von der idealen Empfindlichkeit:  
Empfindlichkeitsdifferenz:  
 $\Delta\bar{S}(u, \mathbf{z}_0) = \bar{S}(u, u_a, \mathbf{z}_0) - S_i$   
abhängig von der jeweiligen Position des Messwerts im Messbereich und von der Wahl des Messanfangs  $u_a$



- Relativer Kennlinienfehler:

$$\begin{aligned} F_r &= \frac{y - y_i}{y_i - y_a} = \frac{(y - y_a) - (y_i - y_a)}{y_i - y_a} \\ &= \frac{\bar{S}(u, u_a, \mathbf{z}_0)(u - u_a) - S_i(u - u_a)}{S_i(u - u_a)} = \frac{\bar{S}(u, u_a, \mathbf{z}_0) - S_i}{S_i} = \frac{\Delta\bar{S}(u, \mathbf{z}_0)}{S_i} \end{aligned}$$

- Resultierende Anzeige:

$$y - y_a = (y_i - y_a) \cdot (1 + F_r) = S_i \cdot (u - u_a) \cdot (1 + F_r)$$

## 3.1 Stationäre Messkennlinie und deren Fehler

### Abschätzung des Kennlinienfehlers

- Relativer Kennlinienfehler am Messanfang  $u_a$ :

Hier ist  $y = y_i$  und damit

$$F_r = \frac{(y_i - y_a) - (y_i - y_a)}{y_i - y_a} = 0$$

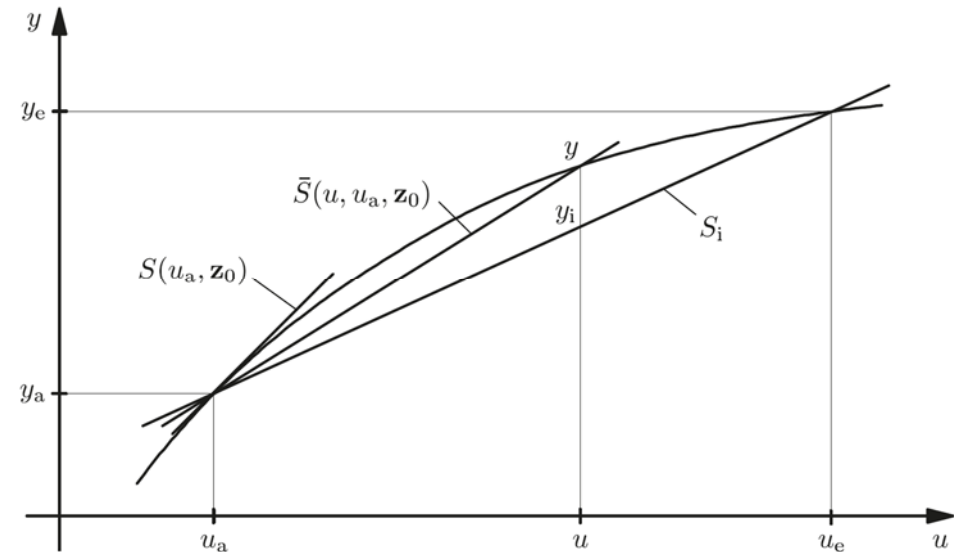
- In der Nähe des Messanfangs  $u_a$ :

- Entwicklung der Kennlinie in Taylorreihe um den Messanfang:

$$y = f(u_a, \mathbf{z}_0) + \left. \frac{\partial f(u_a, \mathbf{z}_0)}{\partial u} \right|_{u=u_a} (u - u_a)$$

$$+ \frac{1}{2!} \left. \frac{\partial^2 f(u_a, \mathbf{z}_0)}{\partial u^2} \right|_{u=u_a} (u - u_a)^2 + \dots$$

$$= f(u_a, \mathbf{z}_0) + S(u_a, \mathbf{z}_0) \cdot (u - u_a) + \frac{1}{2!} S'(u_a, \mathbf{z}_0) \cdot (u - u_a)^2 + \dots$$



Bildquelle: F. Puente León: Messtechnik, 10. Auflage, Springer, 2015

© Michael Heizmann, IIT, KIT, alle Rechte einschließlich Kopier- und Weitergaberechte bei uns.

## 3.1 Stationäre Messkennlinie und deren Fehler

### Abschätzung des Kennlinienfehlers

- Entwicklung der Kennlinie in Taylorreihe um den Messanfang:

$$\begin{aligned} y - y_a &= S(u_a, \mathbf{z}_0) \cdot (u - u_a) + \frac{1}{2!} S'(u_a, \mathbf{z}_0) \cdot (u - u_a) + \dots \\ &= (u - u_a) \left( S(u_a, \mathbf{z}_0) + \frac{1}{2!} S'(u_a, \mathbf{z}_0) \cdot (u - u_a) + \dots \right) \end{aligned}$$

- Vergleich mit der mittleren Empfindlichkeit

$$y - y_a = \bar{S}(u, u_a, \mathbf{z}_0) \cdot (u - u_a) \text{ ergibt}$$

$$\bar{S}(u, u_a, \mathbf{z}_0) = S(u_a, \mathbf{z}_0) + \frac{1}{2!} S'(u_a, \mathbf{z}_0) \cdot (u - u_a) + \dots$$

- Damit relativer Kennlinienfehler in der Nähe des Messanfangs:

$$\begin{aligned} F_r &= \frac{\bar{S}(u, u_a, \mathbf{z}_0) - S_i}{S_i} \approx \frac{S(u_a, \mathbf{z}_0) + \frac{1}{2} S'(u_a, \mathbf{z}_0) \cdot (u - u_a) - S_i}{S_i} \\ &= \frac{\Delta \bar{S}(u_a, \mathbf{z}_0)}{S_i} + \frac{1}{2} \frac{S'(u_a, \mathbf{z}_0)}{S_i} (u - u_a) \end{aligned}$$

## 3.2 Kennlinienfehler unter Normalbedingungen

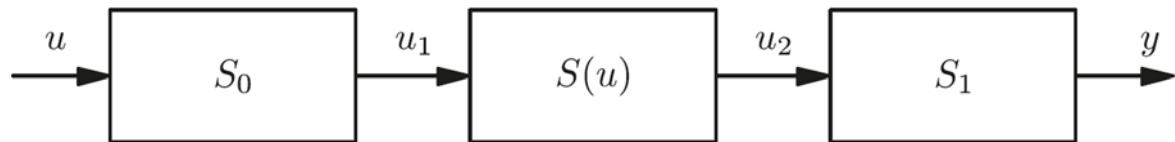
---

- Im folgenden: Betrieb des Messsystems unter spezifizierten Normalbedingungen:
  - Konstanter Störgrößenvektor  $\mathbf{z} = \mathbf{z}_0$
  - Justiertes Gerät, so dass Nullpunktfehler  $e(\mathbf{z}_0) = 0$
- Auftretende Messfehler werden als Abweichung der realen Messkennlinie von der idealen Messkennlinie interpretiert
- Ziel in diesem Abschnitt: Gewinnung einer möglichst idealen (linearen) Messkennlinie mit konstanter Empfindlichkeit  $S = S_i = \text{const.}$ , dazu Anwendung der Ansätze:
  - Herabsetzen des Messbereichs
  - Reihenschaltung zweier nichtlinearer Glieder
  - Wahl des günstigsten Messbereichs
  - Differenzmethode
  - Gegenkopplung

## 3.2 Kennlinienfehler unter Normalbedingungen

### Herabsetzen des Messbereichs

- Idee: Beaufschlagung des nichtlinearen Anteils in der Signalübertragungskette so, dass gesamte Übertragungskette möglichst linear wird
- Lineare Übertragungsglieder:  $S_0 \ll 1$ ,  $S_1 \gg 1$
- Nichtlinearer Anteil:  $S(u)$



- Lineares Glied  $S_0$ :  $u_1 - u_{1a} = S_0 \cdot (u - u_a)$
- Nichtlineares Glied  $S(u)$ :  $u_2 - u_{2a} = S_i \cdot (1 + F_r) \cdot (u_1 - u_{1a})$
- Lineares Glied  $S_1$ :  $y - y_a = S_1 \cdot (u_2 - u_{2a})$
- Gesamt:  $y - y_a = S_0 S_1 S_i \cdot (1 + F_r) \cdot (u - u_a)$

## 3.2 Kennlinienfehler unter Normalbedingungen

### Herabsetzen des Messbereichs

- Wegen  $S_0 \ll 1$  Betrieb des nichtlinearen Gliedes am Anfang  $u_{1a}$  des Messbereichs, dort relativer Fehler:

$$\begin{aligned} F_r &\approx \frac{S(u_{1a}, \mathbf{z}_0) + \frac{1}{2} S'(u_{1a}, \mathbf{z}_0) \cdot (u_1 - u_{1a}) - S_i}{S_i} \\ &= \frac{S(u_{1a}, \mathbf{z}_0) + \frac{1}{2} S'(u_{1a}, \mathbf{z}_0) \cdot S_0 \cdot (u - u_a) - S_i}{S_i} \\ &= \frac{S(u_{1a}, \mathbf{z}_0)}{S_i} - 1 + \underbrace{\frac{1}{2} \frac{S'(u_{1a}, \mathbf{z}_0)}{S_i} \cdot S_0 \cdot (u - u_a)}_{\approx 0} \end{aligned}$$

- $y - y_a = S_0 S_1 S_i \cdot (1 + F_r) \cdot (u - u_a)$   
 $\approx S_0 S_1 S(u_{1a}, \mathbf{z}_0) \cdot (u - u_a)$

nur noch von der konstanten Empfindlichkeit  $S(u_{1a}, \mathbf{z}_0)$  am Messeingang des nichtlinearen Gliedes abhängig

- Kompensation des kleinen  $S_0$  durch entsprechend großes  $S_1$ :  
 $S_0 \cdot S_1 = 1$



## 3.2 Kennlinienfehler unter Normalbedingungen

---

### Herabsetzen des Messbereichs

- Vorgehensweise entspricht Linearisierung um einen Arbeitspunkt (hier: um  $u_{1a}$ )
- Nachteil: Kleine Signalamplitude von  $u_2$  kann Rauschen erhöhen

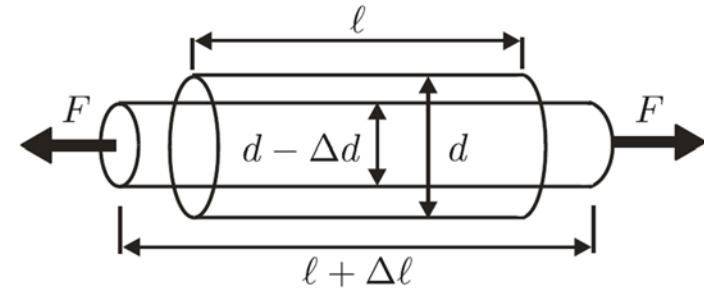
## 3.2 Kennlinienfehler unter Normalbedingungen

### Herabsetzen des Messbereichs

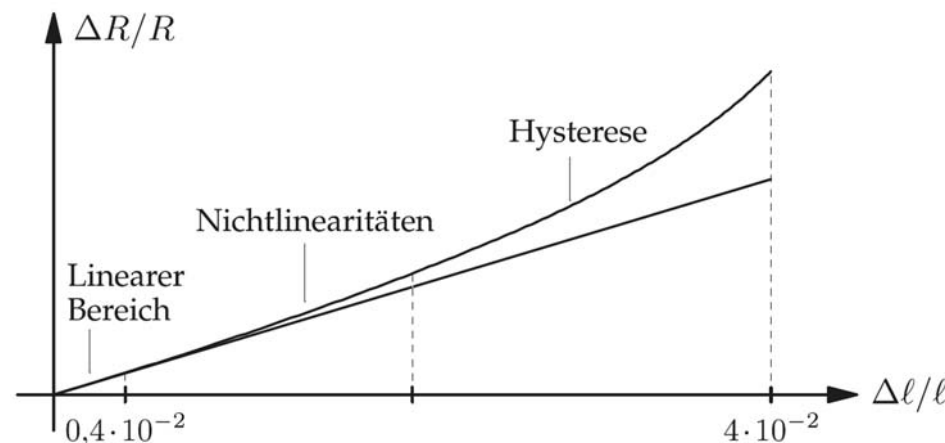
- Beispiel: Wegmessung mit Dehnmessstreifen (DMS)

- Prinzip: Mechanische Beanspruchung

ändert Länge  $l$  und Querschnitt  $A = \frac{\pi d^2}{4}$   
und damit Widerstand  $R \propto \frac{l}{A}$  eines Leiters



- Bei großen Wegen  $x$ : starke Nichtlinearität (bis zur Zerstörung) des DMS

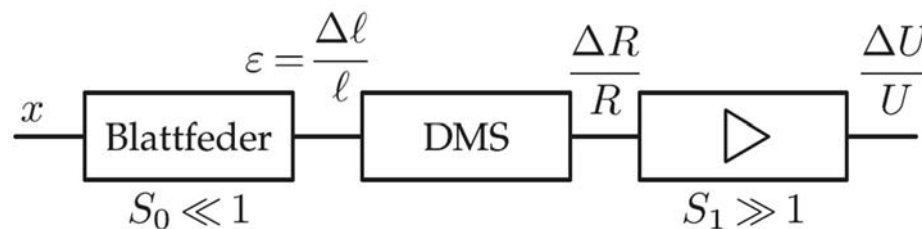
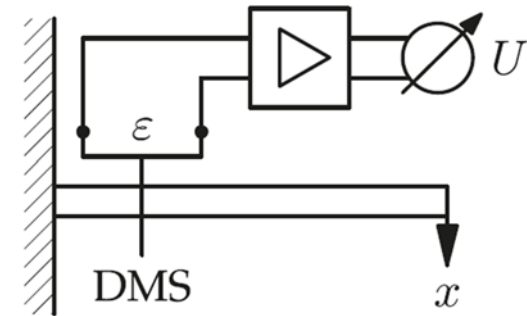


Bildquelle: F. Puentes León: Messtechnik, 10. Auflage, Springer, 2015

## 3.2 Kennlinienfehler unter Normalbedingungen

### Herabsetzen des Messbereichs

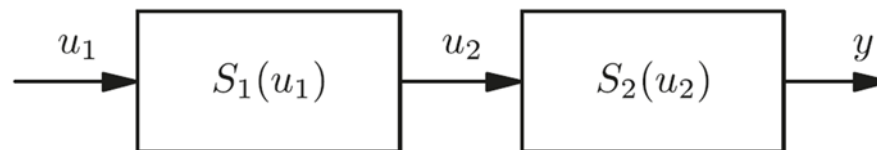
- Beispiel: Wegmessung mit Dehnungsmessstreifen (DMS)
  - Wegmessung z. B. mittels Blattfeder:
    - Umformung des großen Weges  $x$  in kleine Dehnung  $\varepsilon = \frac{\Delta l}{l}$ ,  
Längenänderung des DMS:  $\varepsilon \cdot l$
    - Umsetzung der Längenänderung  $\frac{\Delta l}{l}$  in Widerstandsänderung  $\frac{\Delta R}{R}$  im linearen Bereich des DMS
    - Umsetzung von  $\frac{\Delta R}{R}$  in Spannungsänderung  $\frac{\Delta U}{U}$  mit  $S_1 \gg 1$



## 3.2 Kennlinienfehler unter Normalbedingungen

### Reihenschaltung zweier nichtlinearer Glieder

- Idee: Reihenschaltung zweier nichtlinearer Übertragungsglieder mit den Empfindlichkeiten  $S_1(u)$  und  $S_2(u)$ , so dass gesamte Übertragungskette möglichst linear wird



- Kennlinien der einzelnen Glieder:

$$u_2 = f_1(u_1), S_1(u_1) = \frac{\partial u_2}{\partial u_1} = \frac{\partial f_1(u_1)}{\partial u_1}$$

$$y = f_2(u_2), S_2(u_2) = \frac{\partial y}{\partial u_2} = \frac{\partial f_2(u_2)}{\partial u_2}$$

- Gesamtempfindlichkeit:  $\frac{\partial y}{\partial u_1} = \frac{\partial y}{\partial u_2} \frac{\partial u_2}{\partial u_1} = S_1(u_1) \cdot S_2(u_2)$
- Lineare Gesamtkennlinie erfordert also  $S_1(u_1) \cdot S_2(u_2) = S = \text{const.}$
- Formal erfüllt, wenn Kennlinie des zweiten Gliedes gerade die Umkehrfunktion des ersten Gliedes ist:  $y = f_2(u_2) = f_1^{-1}(u_2)$

## 3.2 Kennlinienfehler unter Normalbedingungen

### Reihenschaltung zweier nichtlinearer Glieder

- Approximation von  $y = f_2(u_2) = f_1^{-1}(u_2)$  mittels Taylor-Reihenentwicklung um den Arbeitspunkt
- Linearitätsbedingungen: erste drei Ableitungen der Kennlinie  $S = S_1(u_1) \cdot S_2(u_2)$  müssen verschwinden (d. h. konstante Steigung, konstante Krümmung, konstante Krümmungsänderung usw.):

$$\frac{dS}{du_1} = S_1' S_2 + S_1 S_2' \frac{du_2}{du_1} = S_1' S_2 + S_1^2 S_2' = 0$$

$$\frac{d^2 S}{du_1^2} = S_1'' S_2 + 3S_1 S_1' S_2' + S_1^3 S_2'' = 0$$

$$\frac{d^3 S}{du_1^3} = S_1''' S_2 + 4S_1 S_1'' S_2' + 3S_1'^2 S_2'' + 6S_1^2 S_1' S_2''' + S_1^4 S_2'''' = 0$$

- Bedingungen sind mit steigenden Anforderung an die Linearisierung der Reihe nach zu erfüllen
- Reihenfolge der nichtlinearen Glieder in der Übertragungskette ist unerheblich: Bedingungen sind im wesentlichen symmetrisch

## 3.2 Kennlinienfehler unter Normalbedingungen

### Reihenschaltung zweier nichtlinearer Glieder

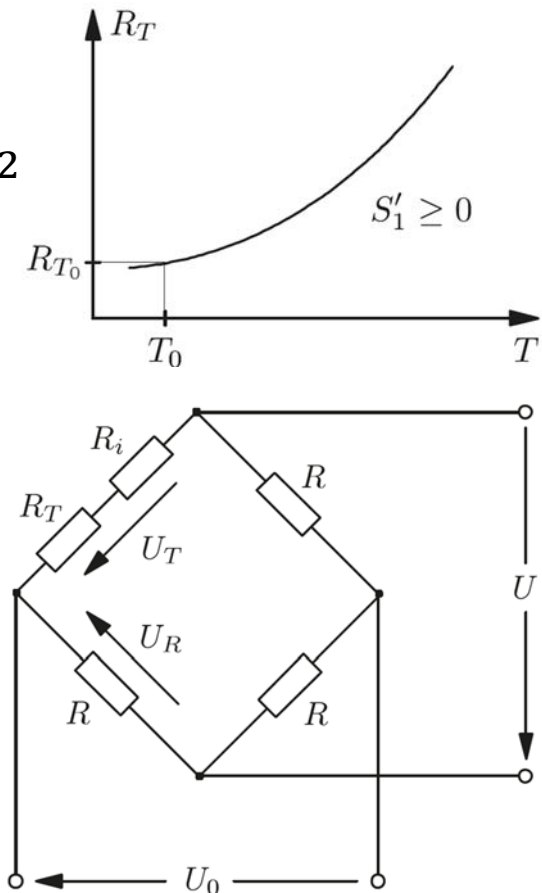
- Beispiel: Widerstandsthermometer in Brückenschaltung

- Temperaturabhängiger Widerstand mit nichtlinearer Kennlinie

$$\Delta R_T = f_1(T) = R_T - R_{T_0} = a(T - T_0) + b(T - T_0)^2$$

- Brückenschaltung im Abgleichverfahren: Justierwiderstand  $R_i$  mit  $R = R_{T_0} + R_i$ , so dass Brücke im Messanfang  $\Delta R_T = R_T - R_{T_0} = 0$  auf  $U = 0$  abgeglichen ist

- $U = f_2(\Delta R_T) = U_T - U_R$ 
$$\begin{aligned} &= U_0 \left[ \frac{R_T + R_i}{R_T + R_i + R} - \frac{R}{R + R} \right] \\ &= U_0 \left[ \frac{R_{T_0} + \Delta R_T + R_i}{R_{T_0} + \Delta R_T + R_i + R} - \frac{1}{2} \right] \\ &= U_0 \left[ \frac{\Delta R_T + R}{\Delta R_T + 2R} - \frac{\frac{1}{2} \Delta R_T + R}{\Delta R_T + 2R} \right] = U_0 \frac{\frac{\Delta R_T}{2}}{\Delta R_T + 2R} = U_0 \frac{\Delta R_T}{4R} \cdot \frac{1}{1 + \frac{\Delta R_T}{2R}} \end{aligned}$$



Bildquelle: F. Puentes León: Messtechnik, 10. Auflage, Springer, 2015  
© Michael Heizmann, IIT, KIT, alle Rechte einschließlich Kopier- und Weitergaberechte bei uns.

## 3.2 Kennlinienfehler unter Normalbedingungen

### Reihenschaltung zweier nichtlinearer Glieder

- Beispiel: Widerstandsthermometer in Brückenschaltung
  - Empfindlichkeit des temperaturabhängigen Widerstands:

$$S_1(T = T_0) = \left. \frac{d(\Delta R_T)}{dT} \right|_{T=T_0} = a$$

$$S'_1(T = T_0) = \left. \frac{d^2(\Delta R_T)}{dT^2} \right|_{T=T_0} = 2b$$

- Empfindlichkeit der Brückenschaltung:

$$S_2(\Delta R_T = 0) = \left. \frac{dU}{d(\Delta R_T)} \right|_{\Delta R_T=0} = U_0 \left. \frac{R}{(\Delta R_T + 2R)^2} \right|_{\Delta R_T=0} = \frac{U_0}{4R}$$

$$S'_2(\Delta R_T = 0) = \left. \frac{d^2 U}{d(\Delta R_T)^2} \right|_{\Delta R_T=0} = -U_0 \left. \frac{2R}{(\Delta R_T + 2R)^3} \right|_{\Delta R_T=0} = -\frac{U_0}{4R^2}$$

## 3.2 Kennlinienfehler unter Normalbedingungen

### Reihenschaltung zweier nichtlinearer Glieder

- Beispiel: Widerstandsthermometer in Brückenschaltung

- Bedingung für konstante Empfindlichkeit  $S = S_1 S_2$ :

$$\frac{dS}{du_1} = S'_1 S_2 + S_1^2 S'_2 = 0$$

- Eingesetzt: Bedingung für die Widerstände  $R$ :

$$2b \frac{U_0}{4R} - a^2 \frac{U_0}{4R^2} = 0 \Rightarrow R = \frac{a^2}{2b} \quad (b > 0)$$

- Damit Justierwiderstand:

$$R_i = R - R_{T_0} = \frac{a^2}{2b} - R_{T_0}$$

- Damit muss also gelten (wegen  $R > 0$ ,  $R_i > 0$ ):  $b > 0$ ,  $\frac{a^2}{2b} > R_{T_0}$
  - Z. B. bei Platin-Widerstandsthermometern:  $b < 0$ ,  
Linearisierung kann daher hier so nicht erreicht werden



## 3.2 Kennlinienfehler unter Normalbedingungen

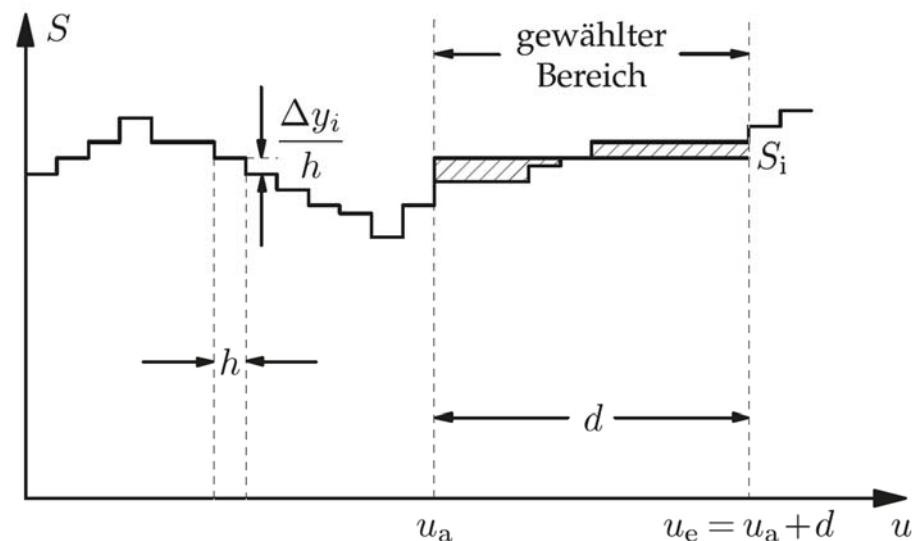
### Reihenschaltung zweier nichtlinearer Glieder

- Beispiel: Widerstandsthermometer in Brückenschaltung
  - Z. B. Nickel-Widerstandsthermometer:
    - $R_{T_0} = 100 \, \Omega$  bei  $T_0 = 0 \, ^\circ\text{C}$ :  $a = 0,574 \, \Omega/^\circ\text{C}$ ,  $b = 0,0007 \, \Omega/(\text{C})^2$
    - Damit Justierwiderstand:  $R_i = \frac{a^2}{2b} - R_{T_0} = 135,34 \, \Omega$
    - Vergleich der Kennlinien (Approximation durch Newton-Polynome):
      - Ohne Linearisierung ( $R_i = 0$ ):  $R = R_i + R_{T_0} = R_{T_0} = 100 \, \Omega$   
$$\Rightarrow \frac{U}{U_0} = 1,87 \cdot 10^{-3} \frac{T}{^\circ\text{C}} \left( 1 - 1,7 \cdot 10^{-2} \frac{T}{^\circ\text{C}} \right)$$
      - Mit Linearis. ( $R_i = 135,34 \, \Omega$ ):  $R = R_i + R_{T_0} = \frac{a^2}{2b} = 235,34 \, \Omega$   
$$\Rightarrow \frac{U}{U_0} = 0,61 \cdot 10^{-3} \frac{T}{^\circ\text{C}} \left( 1 - 2,0 \cdot 10^{-4} \frac{T}{^\circ\text{C}} \right)$$
    - D. h. geringere Nichtlinearität, aber auch geringere Empfindlichkeit

## 3.2 Kennlinienfehler unter Normalbedingungen

### Wahl des günstigsten Messbereichs

- Idee: Auswahl eines kleinen Messbereichs, der eine möglichst lineare Kennlinie aufweist, aus dem gesamten möglichen Messbereich
- Dazu Bewertung der Empfindlichkeit  $S$  (besser als Bewertung der Kennlinie) mittels Ableitung oder Differenzen erster Ordnung  $\Delta y_i$  oder Steigung  $\Delta y_i/h$  (mit  $h$ : Stützstellenabstand)
- Auswahl eines Intervalls  $[u_a, u_e]$ , in dem die Empfindlichkeit  $S$  hinreichend hoch und möglichst konstant ist, als Arbeitsbereich



Bildquelle: F. Puente León: Messtechnik, 10. Auflage, Springer, 2015

© Michael Heizmann, IIT, KIT, alle Rechte einschließlich Kopier- und Weitergaberechte bei uns.

## 3.2 Kennlinienfehler unter Normalbedingungen

### Wahl des günstigsten Messbereichs

- Analytische Bestimmung des Arbeitsbereichs mittels des Gütemaßes

$$Q = \int_{u_a}^{u_a+d} (S(u) - S_i)^2 du$$

- Gesucht ist der Messanfang  $u_a$ , der mit Rücksicht auf die Nebenbedingung  $S_i = \frac{1}{d} \int_{u_a}^{u_a+d} S(u) du$  das Gütemaß  $Q$  minimiert:

$$\begin{aligned} Q &= \int_{u_a}^{u_a+d} S^2(u) du - 2S_i \underbrace{\int_{u_a}^{u_a+d} S(u) du}_{= S_i d} + S_i^2 d \\ &= \int_{u_a}^{u_a+d} S^2(u) du - S_i^2 d \end{aligned}$$

## 3.2 Kennlinienfehler unter Normalbedingungen

### Wahl des günstigsten Messbereichs

- Notwendige Bedingung für Minimum von  $Q = \int_{u_a}^{u_a+d} S^2(u) du - S_i^2 d$   
(Leibniz-Regel für Parameterintegrale anwenden, auch für  $S_i$ ):

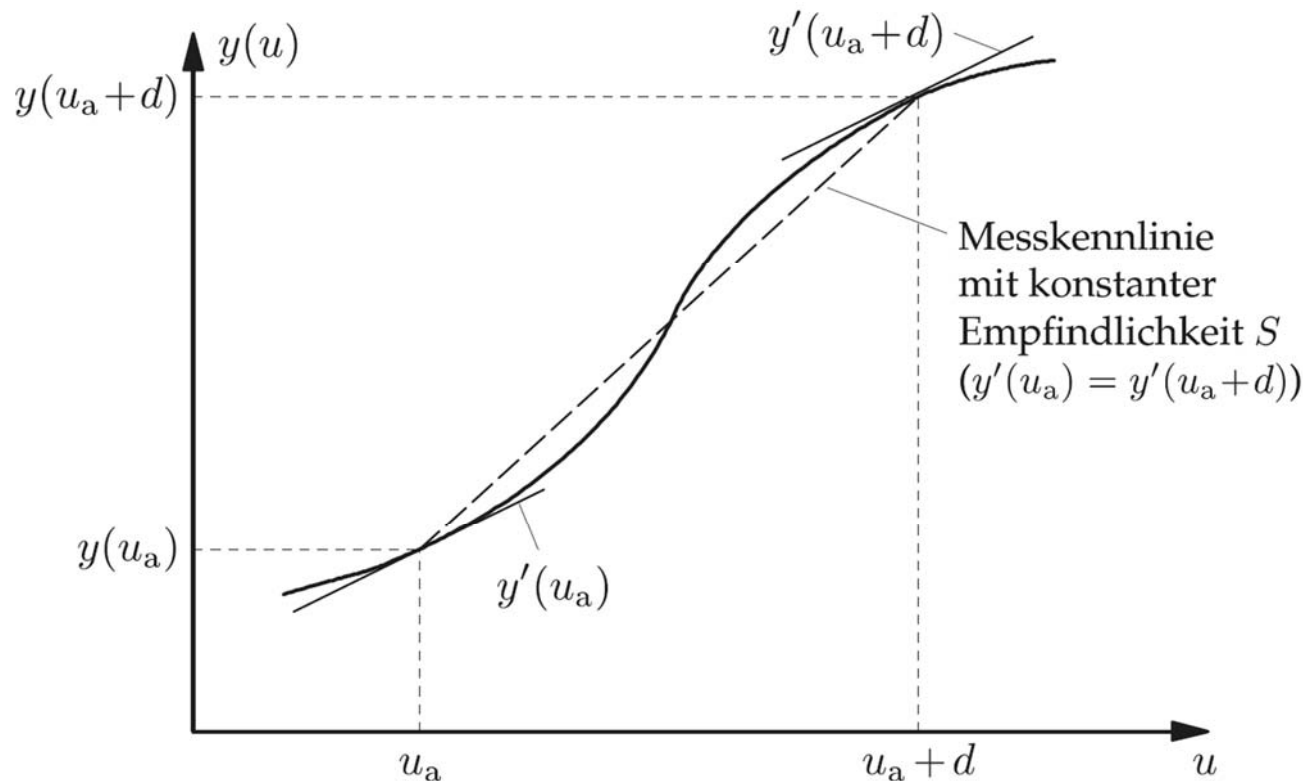
$$\begin{aligned}\frac{\partial Q}{\partial u_a} &= S^2(u_a + d) - S^2(u_a) - 2S_i(S(u_a + d) - S(u_a)) \\ &= \underbrace{2(S(u_a + d) - S(u_a))}_I \underbrace{\left(\frac{1}{2}(S(u_a + d) + S(u_a)) - S_i\right)}_{II} = 0\end{aligned}$$

- Zwei Kriterien (I, II), von denen eines zu erfüllen ist

## 3.2 Kennlinienfehler unter Normalbedingungen

### Wahl des günstigsten Messbereichs

- I.  $S(u_a + d) - S(u_a) = y'(u_a + d) - y'(u_a) = 0$ :  
Arbeitsbereich um einen Wendepunkt legen
  - Messbereich muss nicht symmetrisch zum Wendepunkt liegen
  - Lineare Kennlinie muss nicht durch den Wendepunkt gehen



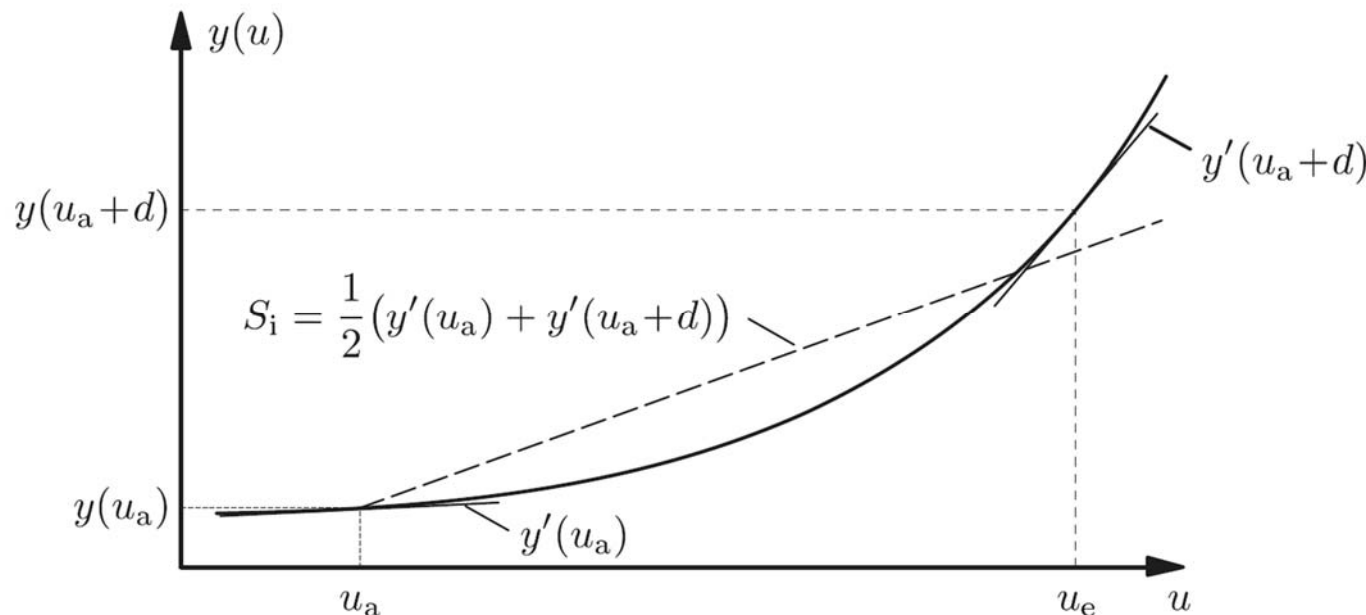
## 3.2 Kennlinienfehler unter Normalbedingungen

### Wahl des günstigsten Messbereichs

II.  $\frac{1}{2}(S(u_a + d) + S(u_a)) - S_i = \frac{1}{2}(y'(u_a + d) + y'(u_a)) - S_i = 0:$

Arbeitsbereich so legen, dass arithmetisches Mittel der Steigungen am Messanfang und -ende der mittleren Steigung  $S_i$  entspricht

- Lineare Kennlinie muss nicht durch den Endpunkt gehen (wie bei der Fixpunktjustierung)
- Mittlere (ideale) Steigung  $S_i$  aus  $S_i = \frac{1}{d} \int_{u_a}^{u_a+d} S(u) du$



## 3.2 Kennlinienfehler unter Normalbedingungen

### Wahl des günstigsten Messbereichs

- Alternativ zur zusätzlichen Erzielung einer hohen Empfindlichkeit:  
Gütemaß

$$R = \frac{1}{S_i^2 d} Q = \frac{1}{S_i^2 d} \int_{u_a}^{u_a+d} (S(u) - S_i)^2 du = \frac{1}{S_i^2 d} \int_{u_a}^{u_a+d} S^2(u) du - 1$$

- Notwendige Bedingung für Minimum von  $R$   
(Produktregel beachten):

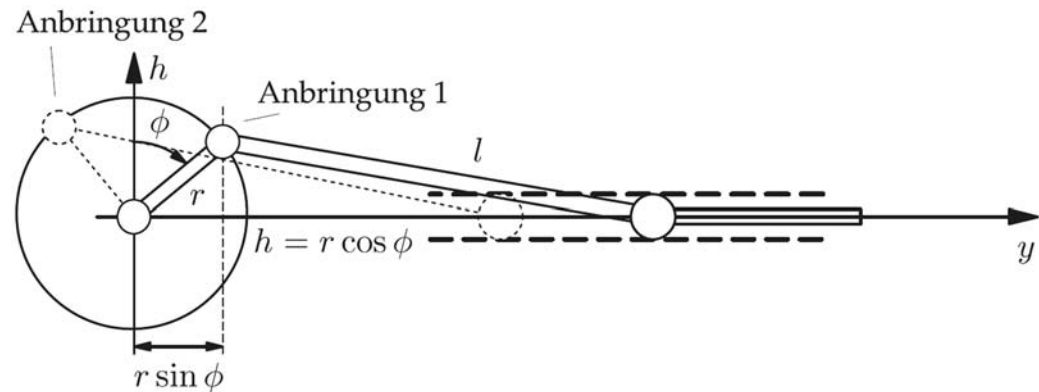
$$\underbrace{(S(u_a + d) - S(u_a))}_I \left[ S_i d (S(u_a + d) + S(u_a)) - 2 \int_{u_a}^{u_a+d} S^2(u) du \right] = 0$$

- Kriterium I: siehe oben, d. h. Extremum des Gütemaßes  $R$  bei passender Wahl des Messbereichs  $[u_a, u_a + d]$  um einen Wendepunkt
- Sicherstellung, dass es sich um ein Minimum handelt, mittels Abschätzung der Empfindlichkeit an zwei Messstellen

## 3.2 Kennlinienfehler unter Normalbedingungen

### Wahl des günstigsten Messbereichs

- Beispiel: Kurbeltrieb:  
Umformung des  
Drehwinkels  $\phi$   
(Messgröße  $u_a$ ) in eine  
lineare Position  $y$



- Kinematik:

$$y = r \sin \phi + \sqrt{l^2 - r^2 \cos^2 \phi}$$

- Erwünscht: möglichst linearer Zusammenhang zwischen  $y$  und  $\phi$

- Annahme:  $\frac{r}{l} \ll 1$ , daraus folgt mit  $\sqrt{1-x} \approx 1 - \frac{x}{2}$  für  $x \ll 1$ :

$$\frac{y}{l} = \frac{r}{l} \sin \phi + 1 - \frac{r^2}{2l^2} \cos^2 \phi$$

- Empfindlichkeit:

$$S(\phi) = \frac{d\left(\frac{y}{l}\right)}{d\phi} = \frac{r}{l} \cos \phi + \frac{r^2}{l^2} \cos \phi \sin \phi$$



## 3.2 Kennlinienfehler unter Normalbedingungen

### Wahl des günstigsten Messbereichs

- Beispiel: Kurbeltrieb

- Im folgenden:  $u_a = \phi_a$ ,  $d = \frac{\pi}{2}$

- Kriterium I ( $S(u_a + d) - S(u_a) = 0$ ):

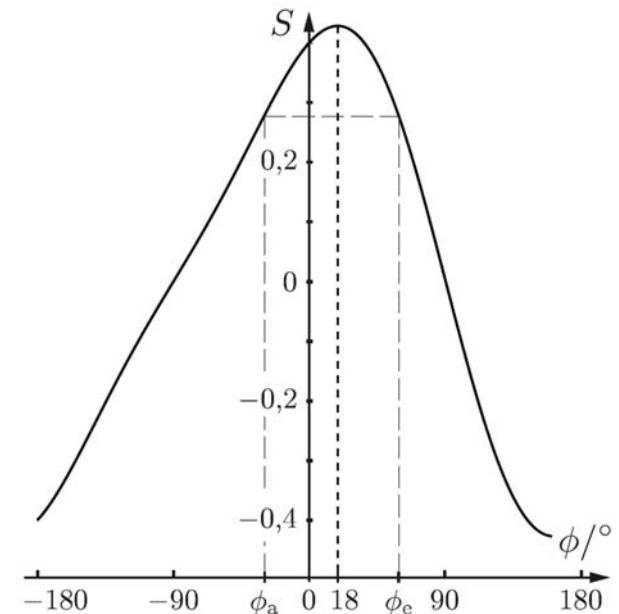
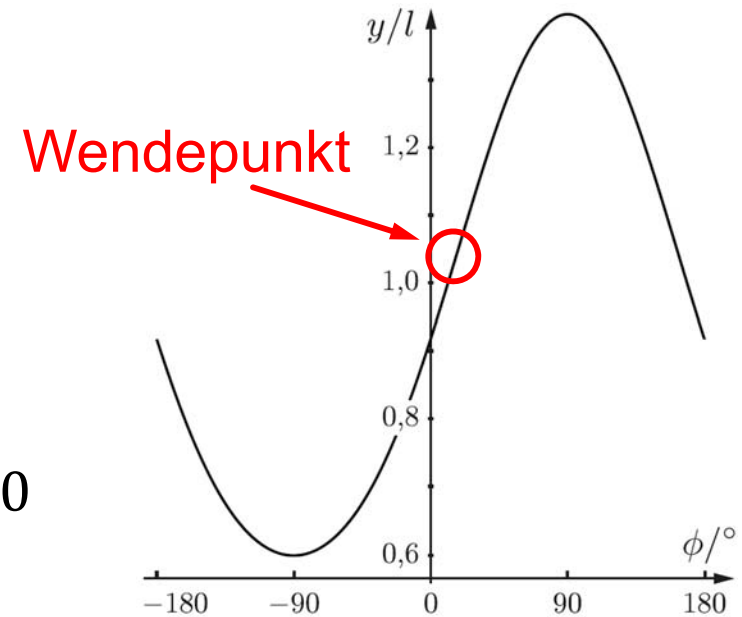
$$-\frac{r}{l} \sin \phi_a - \frac{r^2}{l^2} \sin \phi_a \cos \phi_a - \left( \frac{r}{l} \cos \phi_a + \frac{r^2}{l^2} \cos \phi_a \sin \phi_a \right) = 0$$

$$\Leftrightarrow \frac{2r}{l} = -\frac{1}{\cos \phi_a} - \frac{1}{\sin \phi_a}$$

nur numerisch lösbar, z. B. für  $\frac{r}{l} = 0,4$ :

$$\phi_a \approx -30,7^\circ, \phi_e \approx 59,3^\circ$$

$S_{ia}$  siehe unten



Bildquelle: F. Puente León: Messtechnik, 10. Auflage, Springer, 2015

© Michael Heizmann, IIT, KIT, alle Rechte einschließlich Kopier- und Weitergaberechte bei uns.

## 3.2 Kennlinienfehler unter Normalbedingungen

### Wahl des günstigsten Messbereichs

- Beispiel: Kurbeltrieb

- Kriterium II ( $\frac{1}{2}(S(u_a + d) + S(u_a)) - S_i = 0$ ):

$$\frac{r}{2l}(-\sin \phi_a + \cos \phi_a) - S_i = 0$$

Empfindlichkeit  $S_i$  muss hier vorgegeben werden,  
z. B. aus Fixpunktjustierung:

$$S_i = \frac{y(\phi_a + d) - y(\phi_a)}{d}$$

Eingesetzt:

$$\frac{r}{2l}(-\sin \phi_a + \cos \phi_a) - \frac{2r}{\pi l} \left( \cos \phi_a - \sin \phi_a + \frac{r}{2l}(-\sin^2 \phi_a + \cos^2 \phi_a) \right) = 0$$

$$\Leftrightarrow (-\sin \phi_a + \cos \phi_a) \left( \frac{r}{2l} - \frac{2r}{\pi l} - \frac{r^2}{\pi l^2}(\sin \phi_a + \cos \phi_a) \right) = 0$$

## 3.2 Kennlinienfehler unter Normalbedingungen

### Wahl des günstigsten Messbereichs

- Beispiel: Kurbeltrieb

- Kriterium II:

$$\underbrace{(-\sin \phi_a + \cos \phi_a)}_A \underbrace{\left( \frac{r}{2l} - \frac{2r}{\pi l} - \frac{r^2}{\pi l^2} (\sin \phi_a + \cos \phi_a) \right)}_B = 0$$

A:  $-\sin \phi_a + \cos \phi_a = 0$

mittels Näherungsverfahren lösbar:  $\phi_a \approx -52^\circ$ ,  $\phi_e \approx 38^\circ$

$S_{ib}$  siehe nächste Folie

B:  $\frac{r}{2l} - \frac{2r}{\pi l} - \frac{r^2}{\pi l^2} (\sin \phi_a + \cos \phi_a) = 0$

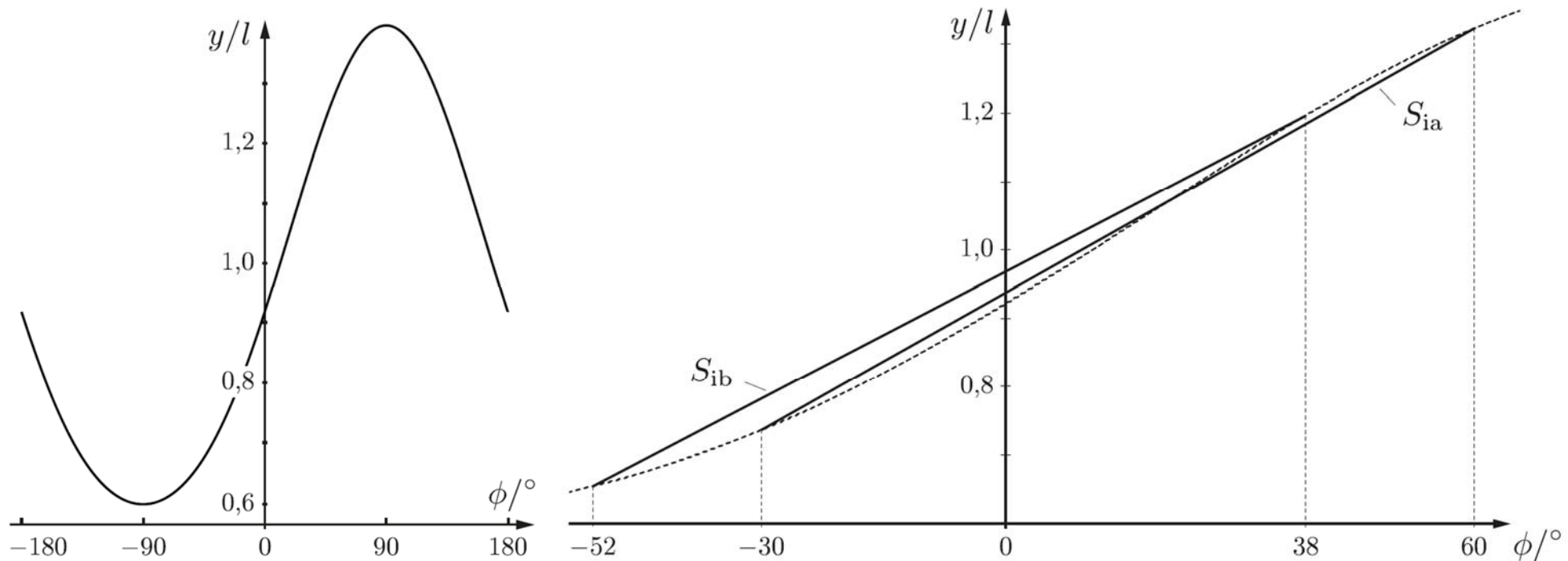
mittels Näherungsverfahren lösbar:  $\phi_a \approx 45^\circ$ ,  $\phi_e \approx 145^\circ$

offensichtlich kein Minimum

## 3.2 Kennlinienfehler unter Normalbedingungen

### Wahl des günstigsten Messbereichs

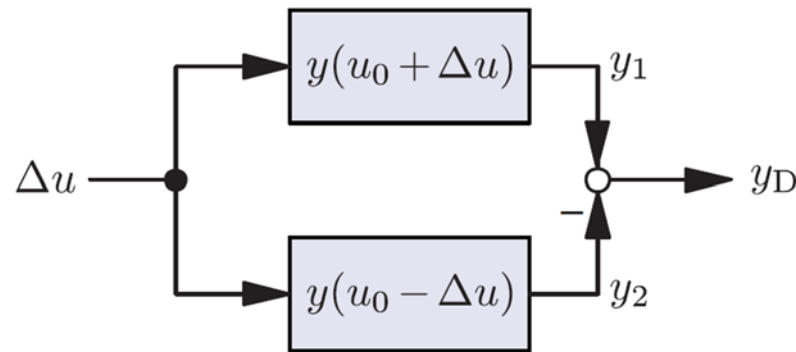
- Beispiel: Kurbeltrieb
  - Vergleich der Lösungen:  
Kriterium  $I$  liefert in diesem Fall die bessere Anpassung:  
kleinere Abweichung der Linearisierung von der realen Kennlinie



## 3.2 Kennlinienfehler unter Normalbedingungen

### Differenzmethode

- Idee: Parallelschaltung zweier gleichartiger (nichtlinearer) Teilsysteme, die mit einer Messgröße gegensinnig (d. h. mit unterschiedlichem Vorzeichen) beaufschlagt werden



- Abweichungen  $\Delta u$  vom Arbeitspunkt  $u_0$ :  $\Delta u = u - u_0$
- Gegensinnige Beaufschlagung durch entsprechende Anordnung bzw. entsprechenden Betrieb der Sensoren

## 3.2 Kennlinienfehler unter Normalbedingungen

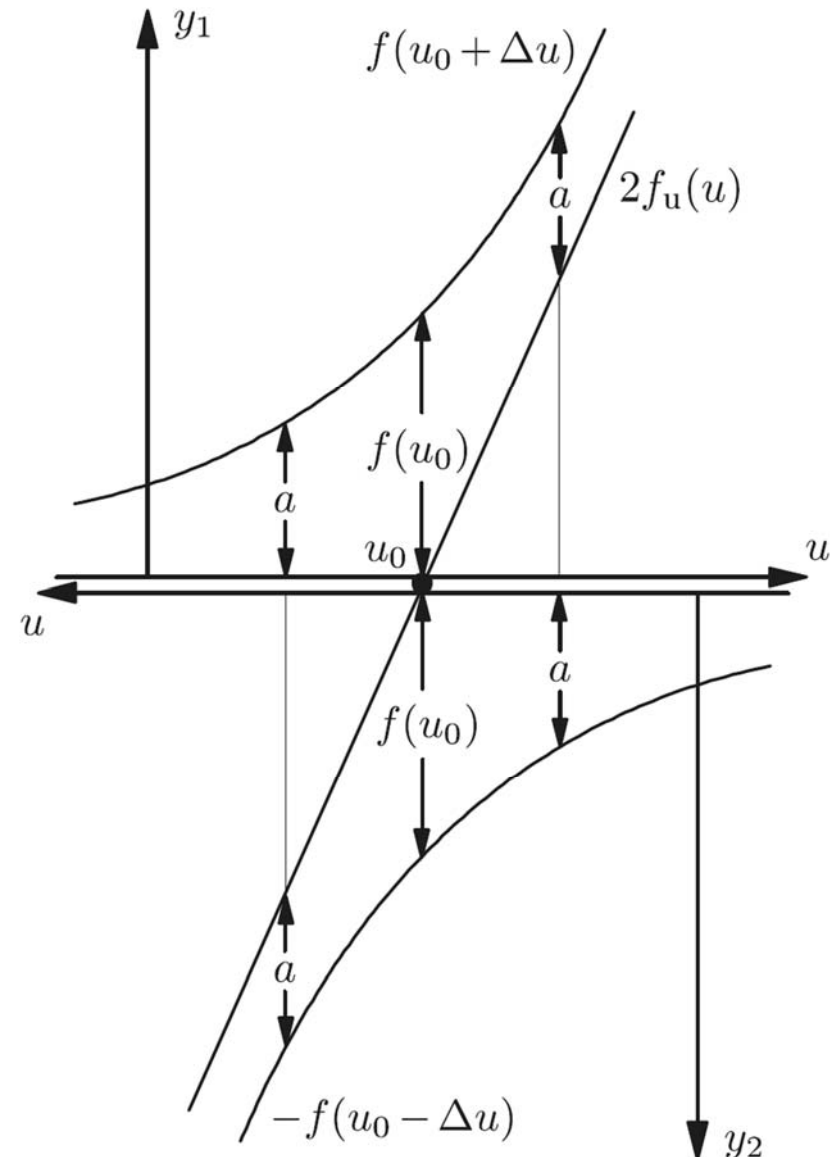
### Differenzmethode

- Wirkungsweise: dazu Zerlegung einer Funktion  $f(\Delta u)$  in einen geraden Anteil  $f_g(\Delta u)$  und einen ungeraden Anteil  $f_u(\Delta u)$ :  
$$f(\Delta u) = f_g(\Delta u) + f_u(\Delta u)$$
- Gerade Funktion:  $f_g(-\Delta u) = f_g(\Delta u)$
- Ungerade Funktion:  $f_u(-\Delta u) = -f_u(\Delta u)$
- Damit ist  $f(\Delta u) + f(-\Delta u) = 2f_g(\Delta u)$ ,  
$$f(\Delta u) - f(-\Delta u) = 2f_u(\Delta u)$$
- Gerader Anteil (z. B. Anteile  $\propto u^2, u^4$ ): unerwünschte Nichtlinearitäten
- Ungerade Anteile: hauptsächlich erwünschter Anteil  $\propto u$ , aber auch unerwünschte Nichtlinearitäten höherer Ordnung z. B.  $\propto u^3, u^5$  usw.
- Wahl des Arbeitspunkts  $u_0$  in der Mitte des Messbereichs, Kennlinie wird durch Differenzbildung als ungerader Funktionsanteil gebildet:  
$$y_D = f(\Delta u) - f(-\Delta u) = 2f_u(\Delta u),$$
  
dadurch wird also der Anteil des geraden Funktionsanteils unterdrückt

## 3.2 Kennlinienfehler unter Normalbedingungen

### Differenzmethode

- $y_D = f(\Delta u) - f(-\Delta u) = 2f_u(\Delta u)$



## 3.2 Kennlinienfehler unter Normalbedingungen

### Differenzmethode

- Taylor-Entwicklung der gegensinnig beaufschlagten Kennlinien:

$$\begin{aligned} y(u_0 + \Delta u) &= y(u_0) + S(u_0)\Delta u \left( 1 + \frac{S'(u_0)}{S(u_0)} \frac{\Delta u}{2!} + \frac{S''(u_0)}{S(u_0)} \frac{\Delta u^2}{3!} + \dots \right) \\ y(u_0 - \Delta u) &= y(u_0) + S(u_0)(-\Delta u) \left( 1 + \frac{S'(u_0)}{S(u_0)} \frac{-\Delta u}{2!} + \frac{S''(u_0)}{S(u_0)} \frac{(-\Delta u)^2}{3!} + \dots \right) \end{aligned}$$

- Daraus Differenz:

$$\begin{aligned} y_D &= y(u_0 + \Delta u) - y(u_0 - \Delta u) \\ &= 2S(u_0)\Delta u \left( 1 + \frac{S''(u_0)}{S(u_0)} \frac{\Delta u^2}{3!} + \dots + \frac{S^{(2v)}(u_0)}{S(u_0)} \frac{\Delta u^{2v}}{(2v+1)!} + \dots \right) \end{aligned}$$

Krümmung (gerader Anteil zweiter Ordnung) fällt also weg (genauso wie alle anderen geraden Anteile)

- Mit  $S_i = S(u_0)$ :

Ideale Kennlinie:  $y_D = 2S_i \cdot \Delta u$ , d. h. doppelte Empfindlichkeit



## 3.2 Kennlinienfehler unter Normalbedingungen

### Differenzmethode

- Relativer Fehler:
  - Für die ursprüngliche Kennlinie (s. o.):

$$\begin{aligned} F_r &= \frac{y - y_i}{y_i} \approx \frac{S(u_0, \mathbf{z}_0) + \frac{1}{2} S'(u_0, \mathbf{z}_0) \cdot \Delta u - S_i}{S_i} \\ &= \frac{1}{2} \frac{S'(u_0, \mathbf{z}_0)}{S_i} \Delta u \end{aligned}$$

- Für die Differenzanordnung:

$$\begin{aligned} F_{rD} &= \frac{y_D - y_{iD}}{y_{iD}} \approx \frac{2S(u_0, \mathbf{z}_0) + \frac{1}{3} S''(u_0, \mathbf{z}_0) \cdot \Delta u^2 - 2S_i}{2S_i} \\ &= \frac{1}{6} \frac{S''(u_0, \mathbf{z}_0)}{S_i} \Delta u^2 \end{aligned}$$

d. h. proportional zur 2. Ableitung, quadratisch ansteigend

- Verhältnis der relativen Fehler:

$$\frac{F_{rD}}{F_r} = \frac{1}{3} \frac{S''(u_0, \mathbf{z}_0)}{S'(u_0, \mathbf{z}_0)} \Delta u$$

## 3.2 Kennlinienfehler unter Normalbedingungen

### Differenzmethode

- Beispiel: Kapazitiver Beschleunigungssensor

- Messung der Beschleunigung  $a$  bzw. der Beschleunigungskraft  $F_m$

- Kammartige Struktur, an 4 Stellen beweglich befestigt

- Feder-Masse-System:  
 $m\Delta\ddot{d} + \beta\Delta\dot{d} + c\Delta d = ma = F_m$

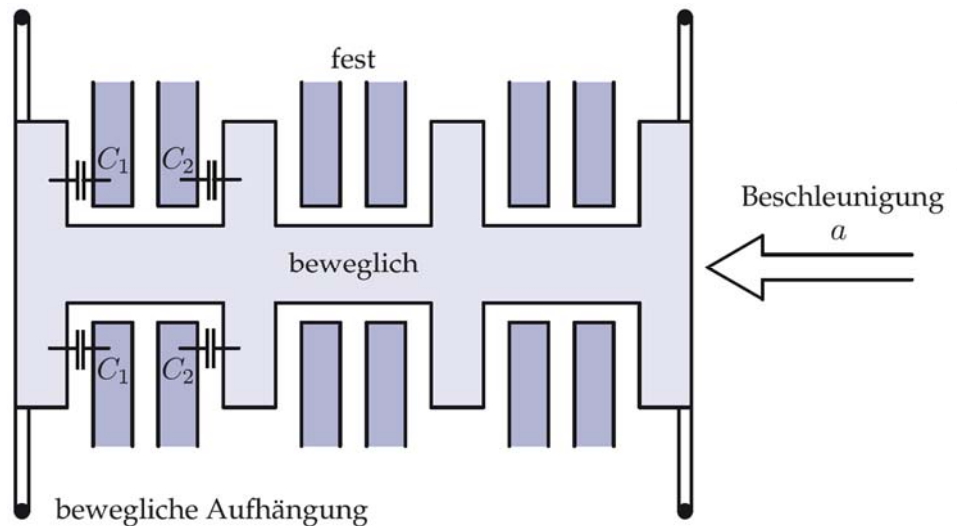
- Stationärer Zustand:

$$\Delta d = \text{const.}:$$

$$c\Delta d = ma = F_m$$

$$\Delta d = \frac{m}{c} a = \frac{1}{\omega_0^2} a$$

- Hohe Eigenfrequenzen  $\omega_0$ , daher kleine Auslenkungen  $\Delta d$
- Strukturen bilden Kapazitäten  $C_1$  und  $C_2$



Bildquelle: F. Puente León: Messtechnik, 10. Auflage, Springer, 2015

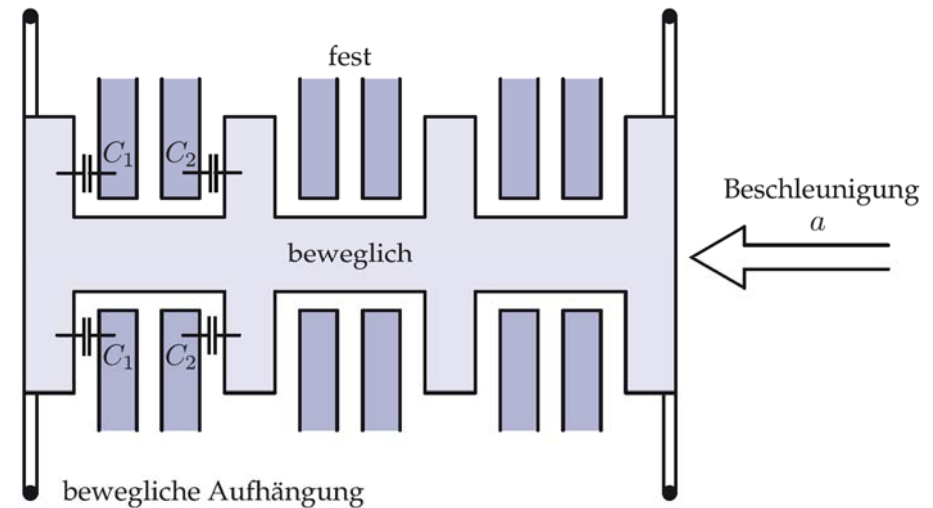
© Michael Heizmann, IIT, KIT, alle Rechte einschließlich Kopier- und Weitergaberechte bei uns.

## 3.2 Kennlinienfehler unter Normalbedingungen

### Differenzmethode

- Beispiel: Kapazitiver Beschleunigungssensor
- Bei Auslenkung um  $\Delta d$   
nach links:  $C_2$  wird größer,  
 $C_1$  wird kleiner:

$$\frac{1}{C_1} = \frac{1}{\varepsilon A} (d + \Delta d) = \frac{d}{\varepsilon A} \left( 1 + \frac{\Delta d}{d} \right) = \frac{1}{C_0} \left( 1 + \frac{1}{d\omega_0^2} a \right)$$
$$\frac{1}{C_2} = \frac{1}{\varepsilon A} (d - \Delta d) = \frac{d}{\varepsilon A} \left( 1 - \frac{\Delta d}{d} \right) = \frac{1}{C_0} \left( 1 - \frac{1}{d\omega_0^2} a \right)$$



Bildquelle: F. Puente León: Messtechnik, 10. Auflage, Springer, 2015

© Michael Heizmann, IIT, KIT, alle Rechte einschließlich Kopier- und Weitergaberechte bei uns

## 3.2 Kennlinienfehler unter Normalbedingungen

### Differenzmethode

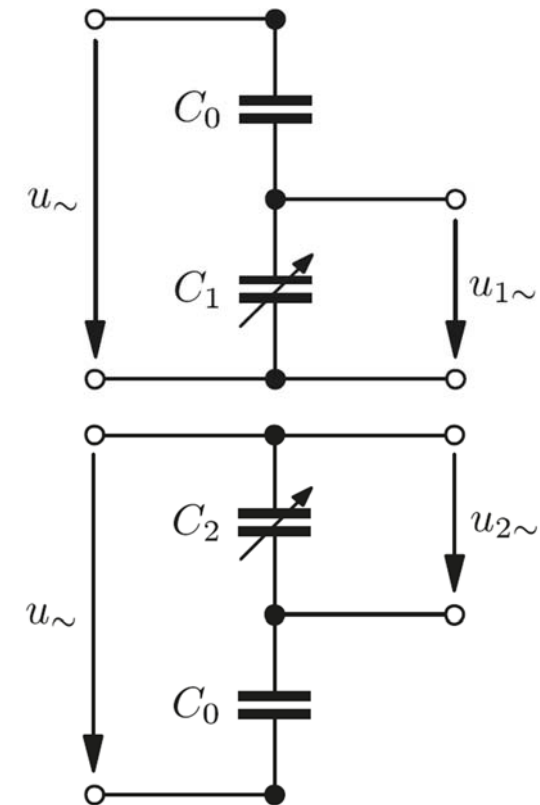
- Beispiel: Kapazitiver Beschleunigungssensor
  - Messung der Kapazitätsänderungen mittels Spannungsteiler:

$$u_{1\sim} = \frac{\frac{1}{C_1}}{\frac{1}{C_1} + \frac{1}{C_0}} u_{\sim} = \frac{1 + \frac{\Delta d}{d}}{2 + \frac{\Delta d}{d}} u_{\sim}$$

$$u_{2\sim} = \frac{\frac{1}{C_2}}{\frac{1}{C_2} + \frac{1}{C_0}} u_{\sim} = \frac{1 - \frac{\Delta d}{d}}{2 - \frac{\Delta d}{d}} u_{\sim}$$

- Daraus Differenzspannung:

$$\Delta u_{\sim} = u_{1\sim} - u_{2\sim} = \frac{2 \frac{\Delta d}{d}}{4 - \left(\frac{\Delta d}{d}\right)^2} u_{\sim}$$



Bildquelle: F. Puentes León: Messtechnik, 10. Auflage, Springer, 2015

© Michael Heizmann, IIT, KIT, alle Rechte einschließlich Kopier- und Weitergaberechte bei uns

## 3.2 Kennlinienfehler unter Normalbedingungen

### Differenzmethode

- Beispiel: Kapazitiver Beschleunigungssensor

- Taylor-Entwicklung:

$$\Delta u_{\sim} = \Delta u_{\sim} \left( \frac{\Delta d_0}{d} \right) + \left. \frac{\partial \Delta u_{\sim}}{\partial \frac{\Delta d_0}{d}} \right|_{\Delta d_0} \frac{\Delta d}{d} + \frac{1}{2} \left. \frac{\partial^2 \Delta u_{\sim}}{\partial \left( \frac{\Delta d_0}{d} \right)^2} \right|_{\Delta d_0} \left( \frac{\Delta d}{d} \right)^2 + \dots$$

- Für kleine Auslenkungen  $\frac{\Delta d}{d} \ll 1$ :

$$\Delta u_{\sim} = \frac{2 \frac{\Delta d}{d}}{4 - \left( \frac{\Delta d}{d} \right)^2} u_{\sim} \approx \frac{1}{2} \frac{\Delta d}{d} u_{\sim}$$

d. h. näherungsweise linearer Zusammenhang zwischen  $\Delta u_{\sim}$  und  $\Delta d$

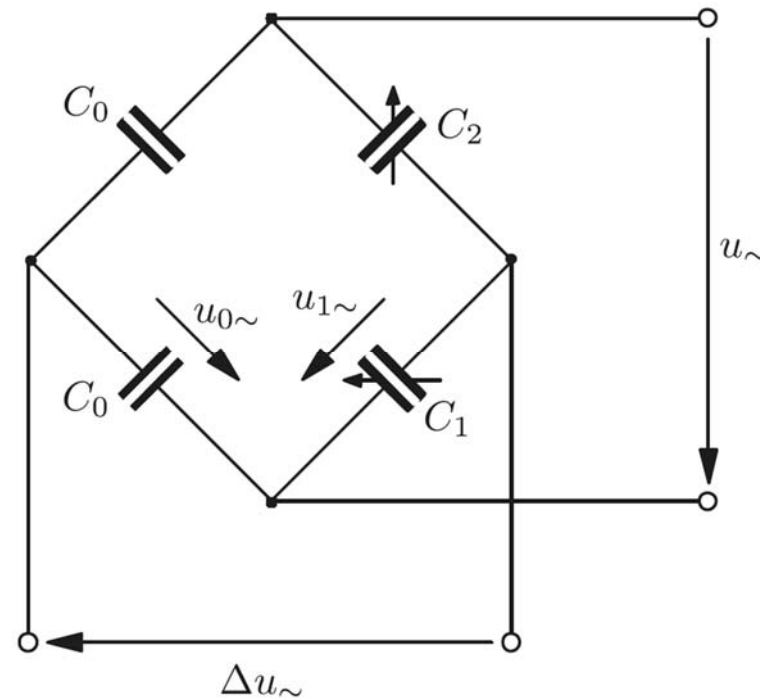
- Insbesondere verschwinden die Koeffizienten der geraden Exponenten

## 3.2 Kennlinienfehler unter Normalbedingungen

### Differenzmethode

- Beispiel: Kapazitiver Beschleunigungssensor
  - Umsetzung normalerweise als Wechselstrombrücke:

$$\Delta u_{\sim} = u_{1\sim} - u_{2\sim} = \left( \frac{C_1^{-1}}{C_1^{-1} + C_2^{-1}} - \frac{1}{2} \right) u_{\sim} \approx \frac{1}{2} \frac{\Delta d}{d} u_{\sim}$$



## 3.2 Kennlinienfehler unter Normalbedingungen

---

### Differenzmethode

- Beispiel: Kapazitiver Beschleunigungssensor
  - Nach Gleichrichtung (im stationären Zustand):

$$|\Delta u_{\sim}| = \frac{1}{2} \frac{\Delta d}{d} |u_{\sim}| = \frac{1}{2} \frac{ma}{cd} |u_{\sim}| = \frac{1}{2} \frac{F_m}{cd} |u_{\sim}|$$

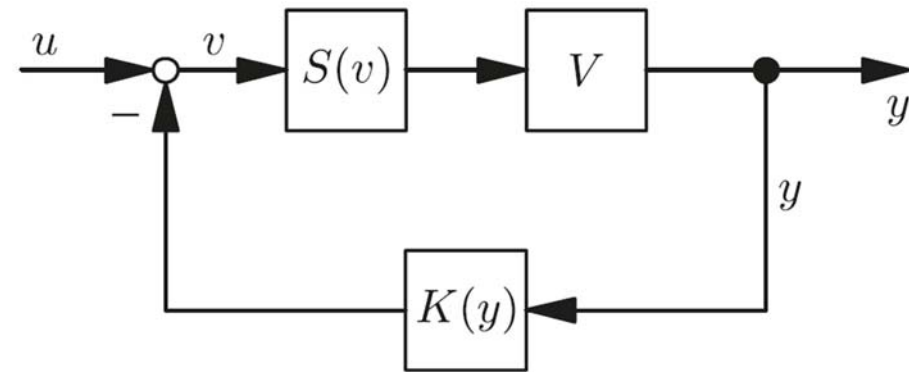
- Empfindlichkeit:

$$S_i = \frac{|\Delta u_{\sim}|}{F_m} = \frac{|u_{\sim}|}{2F_m} \frac{\Delta d}{d} = \frac{|u_{\sim}|}{2cd}$$

## 3.2 Kennlinienfehler unter Normalbedingungen

### Gegenkopplung

- Wirkungsvolle Methode, um für viele Fälle eine nahezu ideale Kennlinie zu erhalten
- Idee: Verwendung eines geschlossenen (Regel-)Kreises
- Kompensationsverfahren:  
Messgröße  $u$  wird mit einer vom Ausgangssignal  $y$  abgeleiteten Größe  $K(y)$  verglichen und ein Abgleich durchgeführt, bis Differenz  $v$  verschwindet
- Voraussetzung: Existenz eines Übertragungsgliedes (Messgliedes)  $K(y)$ , das ein Signal in der gleichen physikalischen Größe wie die Messgröße  $u$  liefert  
(fehlt z. B. für Abbildung einer elektrischen Ausgangsgröße in eine Temperatur)
- Nachteil: Dynamische Effekte des geschlossenen Kreises möglich (siehe Kap. 5)



Bildquelle: F. Puente León: Messtechnik, 10. Auflage, Springer, 2015

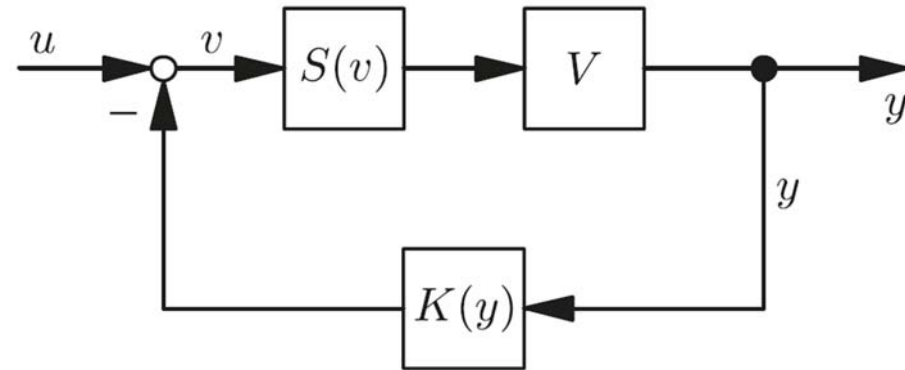
© Michael Heizmann, IIT, KIT, alle Rechte einschließlich Kopier- und Weitergaberechte bei uns.



## 3.2 Kennlinienfehler unter Normalbedingungen

### Gegenkopplung

- Physikalische Messkennlinie  $f(v)$  mit Empfindlichkeit  $S(v) = \frac{\partial f(v)}{\partial v}$
- Kleiner Messbereich  $[v_a, v_e]$  (wegen Gegenkopplung), daher konstante Empfindlichkeit  $S(v_a) = S(v_e) = S_i > 0$
- Aus dem Blockschaltbild:  
 $y = S_i V \cdot v, v = u - K(y)$   
 $\Rightarrow v = \frac{1}{S_i V} y = u - K(y), K(y) = u - \frac{1}{S_i V} y$
- Für große Verstärkungen  $V \gg 1: K(y) \approx u$
- Daher **Kennlinie** der gesamten Anordnung:  $y = K^{-1}(u)$
- Auch anwendbar, um nichtlineare Kennlinien zu realisieren (z. B. für Messbereiche, die mehrere Größenordnungen umfassen)  
Beispiel: Teilchenraten in der Kerntechnik: logarithmische Verstärker, realisiert mittels Kompensationsgliedern  $K(y)$  mit exponentieller Charakteristik (z. B. Diodenkennlinien)



Bildquelle: F. Puente León: Messtechnik, 10. Auflage, Springer, 2015

© Michael Heizmann, IIT, KIT, alle Rechte einschließlich Kopier- und Weitergaberechte bei uns.

## 3.2 Kennlinienfehler unter Normalbedingungen

### Gegenkopplung

- Falls lineare Rückkopplung (d. h.  $K(y) = K' \cdot y$ ):

$$K(y) = K' \cdot y = u - \frac{1}{S_i V} y$$

$$\Rightarrow u = K' \left( 1 + \frac{1}{K' S_i V} \right) y$$

$$\Rightarrow y = \frac{u}{K'} \frac{1}{1 + \frac{1}{K' S_i V}}$$

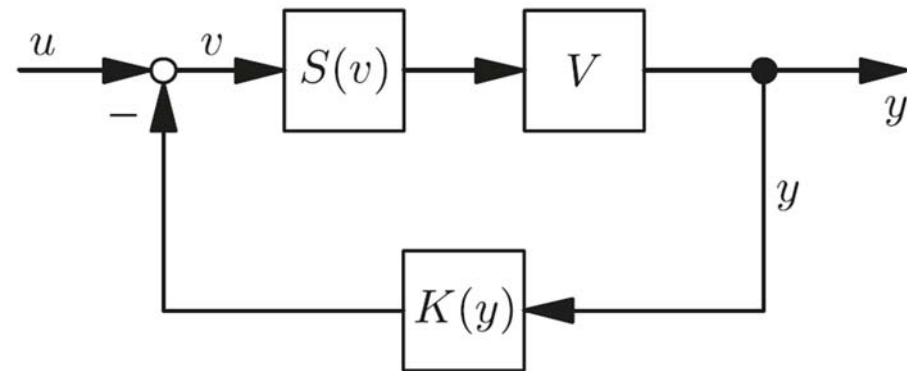
- Näherung:  $\frac{1}{1+x} \approx 1 - x$  für  $|x| \ll 1$  (Potenzreihenentwicklung):

$$y \approx \frac{u}{K'} \left( 1 - \frac{1}{K' S_i V} \right)$$

- Vergleich mit idealer Kennlinie:  $y_i = \frac{1}{K'} u$ : relativer Kennlinienfehler:

$$F_{rG} = \frac{y - y_i}{y_i} \approx -\frac{1}{K' S_i V}$$

d. h. bei hoher Verstärkung  $V$  verschwindet der rel. Kennlinienfehler



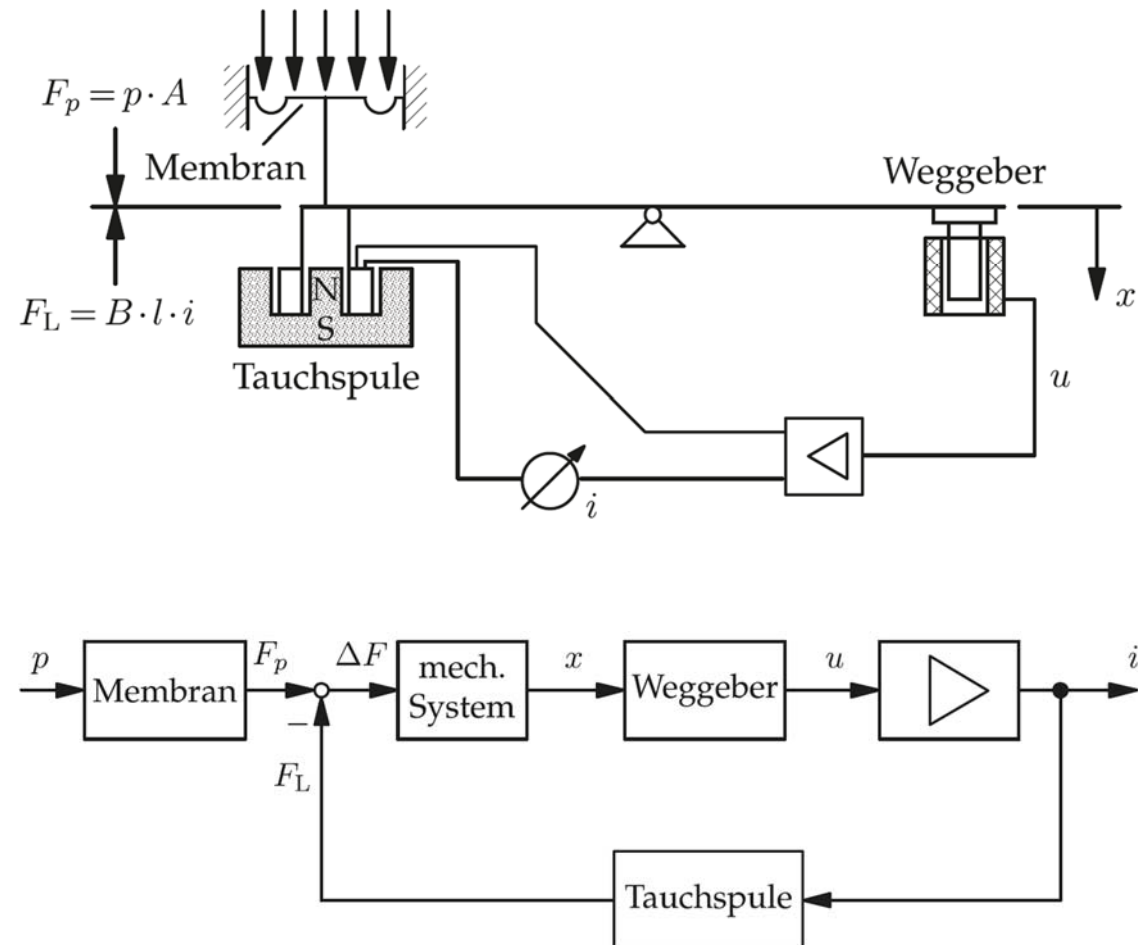
Bildquelle: F. Puente León: Messtechnik, 10. Auflage, Springer, 2015

© Michael Heizmann, IIT, KIT, alle Rechte einschließlich Kopier- und Weitergaberechte bei uns.

## 3.2 Kennlinienfehler unter Normalbedingungen

### Gegenkopplung

- Beispiel:  
Druck-Messumformer
- Gegenkopplung mittels Kräftevergleich  
(es gibt kein geeignetes Übertragungsglied, das einen Strom in einen Druck umwandelt)
- Für  $V \gg 1$ :  $\Delta F \approx 0$ :  
Kräftegleichgewicht  
 $F_p = p \cdot A = F_L = B \cdot l \cdot i$   
 $\Rightarrow i = \frac{A}{B \cdot l} p$



Bildquelle: F. Puente León: Messtechnik, 10. Auflage, Springer, 2015

© Michael Heizmann, IIT, KIT, alle Rechte einschließlich Kopier- und Weitergaberechte bei uns.

## 3.2 Kennlinienfehler unter Normalbedingungen

### Gegenkopplung

- Beispiel: Durchflussmessung

- Wirkdruckverfahren:

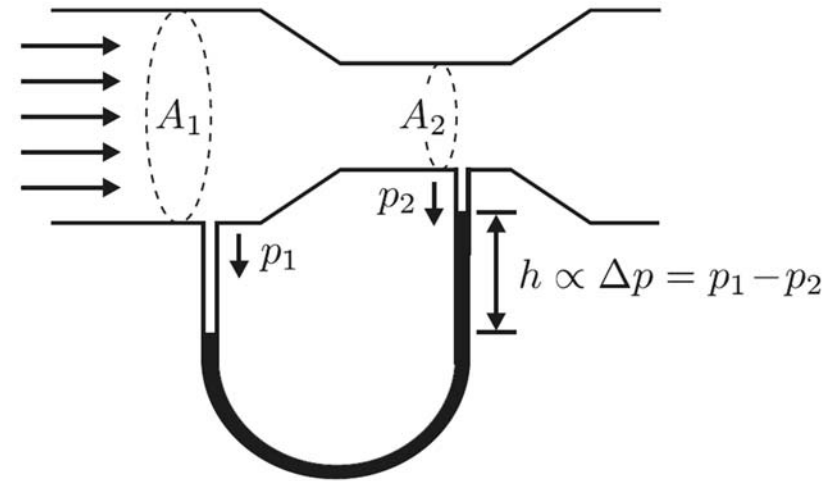
$$\Delta p = \frac{\rho}{2} \left( \frac{1}{A_2^2} - \frac{1}{A_1^2} \right) q_V^2$$

d. h. Wirkdruck  $\Delta p$  ist proportional zum Quadrat des Volumendurchflusses  $q_V$

- Messung des Wirkdrucks  $\Delta p$  z. B. mit dem Druckumformer des obigen Beispiels
  - Hier Wahl der Kennlinie des Kompensationsgliedes im Rückkopplungsweig:  $K(y) = K \cdot y^2$ :

$$y = K^{-1}(\Delta p) \propto \sqrt{\frac{2}{\rho \left( \frac{1}{A_2^2} - \frac{1}{A_1^2} \right)}} \cdot \sqrt{\Delta p} = q_V$$

- Dann wird gesamte Messkennlinie linear



### 3.3 Kennlinienfehler bei Abweichungen von den Normalbedingungen

---

- Bisher: Stationäre Eigenschaften der Messkennlinie bei spezifizierten Normalbedingungen
- Jetzt: Berücksichtigung von Abweichungen der Betriebsbedingungen von den Normalbedingungen:  $z \neq z_0$
- Beispiele für variable Störgrößen:
  - Temperatur
  - Feuchte
  - Mechanische Erschütterungen, Stöße
  - Aussteuerung des Messsystems über den Messbereich hinaus
  - Änderung von Hilfsenergien (Energieversorgung)
- Dadurch Änderungen im Kennlinienabgleich erforderlich
- Unterscheidung in superponierende (additive) und deformierende (multiplikative) Störgrößen

### 3.3 Kennlinienfehler bei Abweichungen von den Normalbedingungen

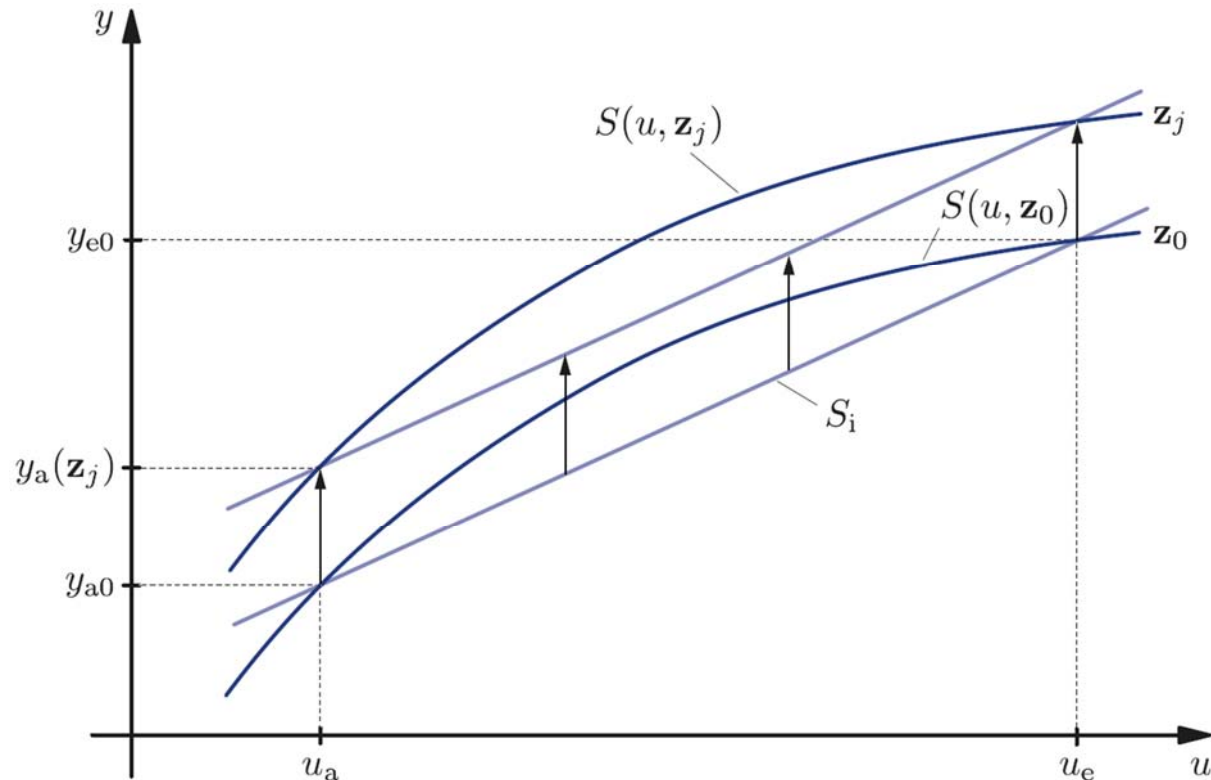
#### Superponierende Störgrößen

- Charakteristische Eigenschaft: über den gesamten Messbereich konstant, charakteristisch ist daher der Messanfang (auch wenn gleichzeitig ein deformierender Fehler vorliegt): Nullpunktfehler

- Nullpunktfehler ändert sich abhängig vom Störgrößenvektor  $\mathbf{z}$ : 
$$e(\mathbf{z}) = \underbrace{e(\mathbf{z}_0)}_{=0} + \Delta e(\mathbf{z})$$

- Empfindlichkeit ändert sich nicht:  $\Delta S(u, \mathbf{z}) = 0$

- Physikalische Messkennlinie: 
$$y = y_{a0} + \int_{u_a}^u S(u, \mathbf{z}_0) du + \Delta e(\mathbf{z})$$



Bildquelle: F. Puente León: Messtechnik, 10. Auflage, Springer, 2015

© Michael Heizmann, IIT, KIT, alle Rechte einschließlich Kopier- und Weitergaberechte bei uns.

### 3.3 Kennlinienfehler bei Abweichungen von den Normalbedingungen

#### Superponierende Störgrößen

- Änderung des Nullpunktfehler in Abhängigkeit von  $\mathbf{z}$   
(Approximation durch Taylor-Reihe 1. Ordnung):

$$F_{\text{sup}} = \Delta e(\mathbf{z}) = y(u_a, \mathbf{z}) - y_{a0} \approx \sum_j \left. \frac{\partial y(u_a, \mathbf{z})}{\partial z_j} \right|_{\mathbf{z}=\mathbf{z}_0} \Delta z_j$$

- Relativer superponierender Fehler bezogen auf Anzeigespanne:

$$F_{r,\text{sup}} = \frac{\Delta e(\mathbf{z})}{y(u, \mathbf{z}_0) - y_{a0}} = \frac{\sum_j \left. \frac{\partial y(u_a, \mathbf{z})}{\partial z_j} \right|_{\mathbf{z}=\mathbf{z}_0} \Delta z_j}{\int_{u_a}^u S(u, \mathbf{z}_0) du}$$

- Vereinfachte Abschätzung:  
Empfindlichkeit im Messbereich sei konstant ( $S(u, \mathbf{z}_0) \approx S_i$ ),  
d. h. Linearität bezüglich  $\Delta z_j$  ( $\left. \frac{\partial y(u_a, \mathbf{z})}{\partial z_j} \right|_{\mathbf{z}=\mathbf{z}_0} \approx \frac{y_a(z_j) - y_{a0}}{\Delta z_j}$ ):

$$F_{r,\text{sup}} \approx \frac{1}{S_i(u - u_a)} \sum_j (y_a(z_j) - y_{a0})$$

## 3.3 Kennlinienfehler bei Abweichungen von den Normalbedingungen

---

### Superponierende Störgrößen

- Die Definition  $F_{r,\text{sup}} \approx \frac{1}{S_i(u-u_a)} \sum_j (y_a(z_j) - y_{a0})$  strebt für den Messanfang  $u_a$  gegen unendlich, daher wird der relative Fehler auch auf den Anzeigebereich bezogen:

$$F_{rA,\text{sup}} \approx \frac{1}{S_i(u_e - u_a)} \sum_j (y_a(z_j) - y_{a0}) = \frac{1}{y_{e0} - y_{a0}} \sum_j (y_a(z_j) - y_{a0})$$



### 3.3 Kennlinienfehler bei Abweichungen von den Normalbedingungen

#### Unterdrückung superponierender Störgrößen mit der Differenzmethode

- Differenzanordnung: In Differenz geht nur der ungerade Signalanteil ein (s. o.), superponierende Störgröße ist aber eine gerade Funktion:

$$y_1 = y(u_0 + \Delta u) + z_1$$

$$y_2 = y(u_0 - \Delta u) + z_2$$

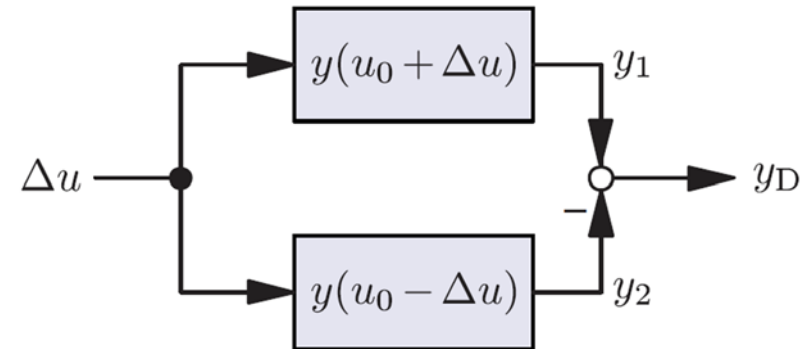
- Daraus Differenz (s. o.):

$$y_D = y(u_0 + \Delta u) + z_1 - (y(u_0 - \Delta u) + z_2)$$

$$= 2S(u_0)\Delta u \left( 1 + \frac{S''(u_0)}{S(u_0)} \frac{\Delta u^2}{3!} + \dots \right) + z_1 - z_2$$

- Lineare Näherung:

$$y_D \approx 2S(u_0)\Delta u \left( 1 + \frac{z_1 - z_2}{2S(u_0)\Delta u} \right)$$



Bildquelle: F. Puente León: Messtechnik, 10. Auflage, Springer, 2015

© Michael Heizmann, IIT, KIT, alle Rechte einschließlich Kopier- und Weitergaberechte bei uns.

### 3.3 Kennlinienfehler bei Abweichungen von den Normalbedingungen

---

#### Unterdrückung superponierender Störgrößen mit der Differenzmethode

- Relativer superponierender Fehler:

$$F_{r,\text{sup}} = \frac{z_1 - z_2}{2S(u_0)\Delta u}$$

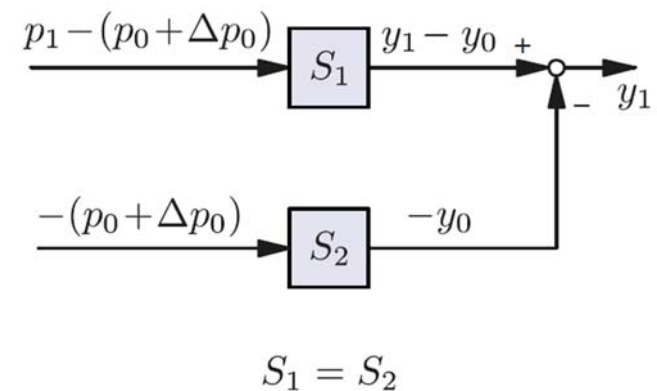
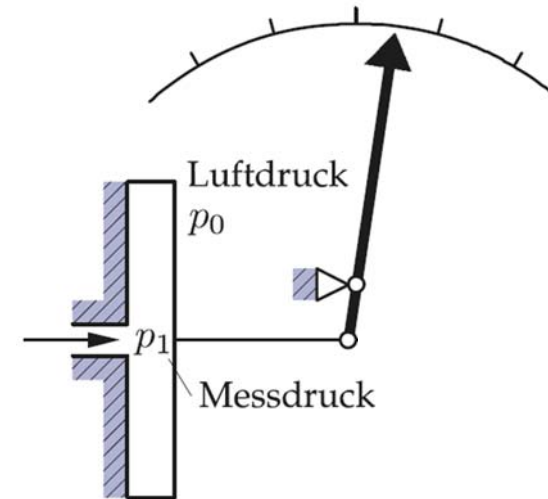
verschwindet bei gleichartig einwirkenden Störungen  $z_1 = z_2$

- D. h. superponierende Störgrößen  $z_j$  wirken sich gleichmäßig auf beide Zweige einer Differenzanordnung aus und verschwinden daher
- Aus diesem Grund und wegen des Linearisierungseffekts (s. o.) weite Verbreitung der Differenzanordnung in der Messtechnik

### 3.3 Kennlinienfehler bei Abweichungen von den Normalbedingungen

#### Unterdrückung superponierender Störgrößen mit der Differenzmethode

- Beispiel: Absolutdruckmesser
  - Membrandose erzeugt Kraft, die eine zur Differenz zwischen Messdruck  $p_1$  und Luftdruck  $p_0$  proportionale Kraft erzeugt
  - Störgröße: veränderlicher Luftdruck  $\Delta p_0$
  - Abhilfe: Zweite Membrandose mit Vakuum in Differenzanordnung

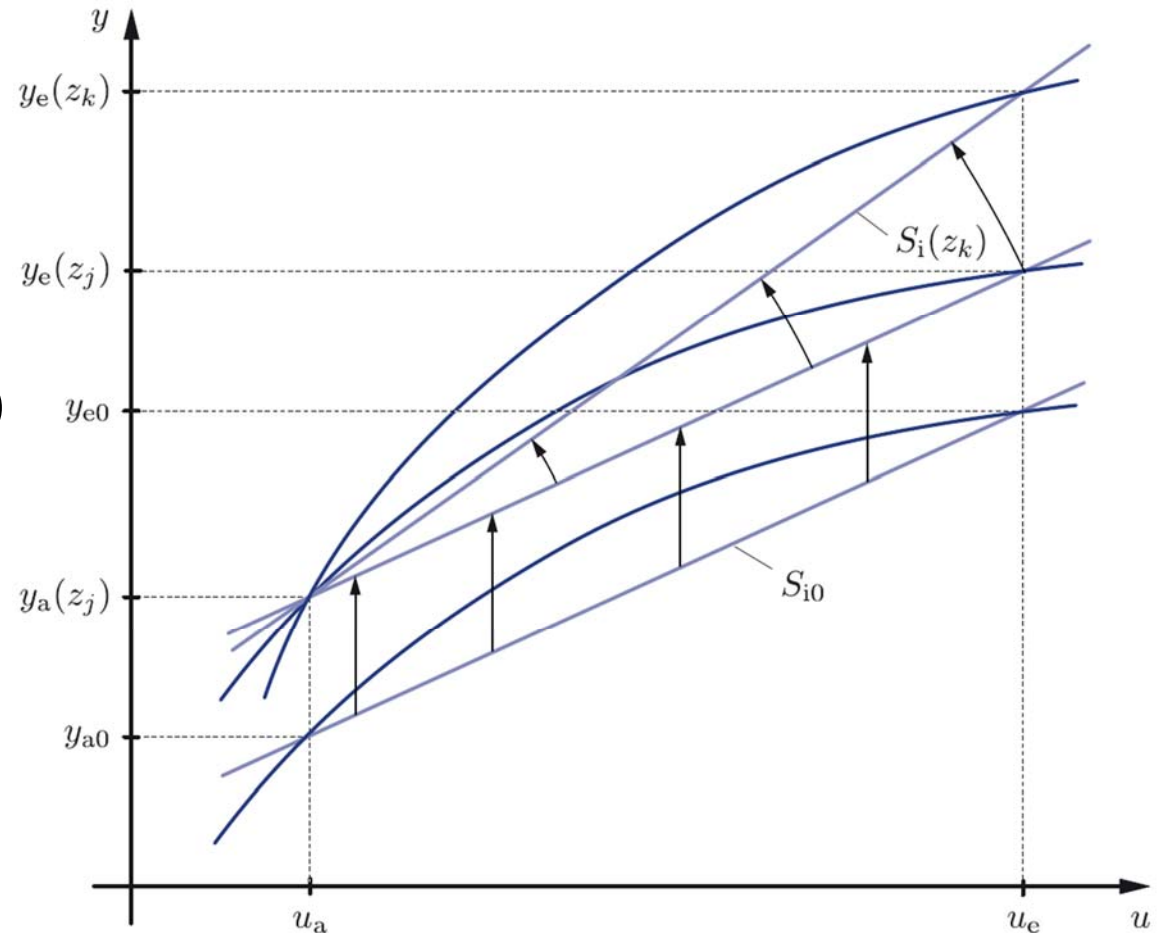


### 3.3 Kennlinienfehler bei Abweichungen von den Normalbedingungen

#### Deformierende Störgrößen

- Charakteristische Eigenschaft:  
Empfindlichkeit ändert sich in Abhängigkeit vom Störgrößenvektor:  
 $S(u, \mathbf{z}) = S(u, \mathbf{z}_0) + \Delta S(u, \mathbf{z})$
- Nullpunktfehler ändert sich dagegen bei rein deformierenden Fehlern nicht:  
 $\Delta e(\mathbf{z}) = 0$
- Resultierende Messkennlinie:

$$y = y_a + \int_{u_a}^u S(u, \mathbf{z}_0) du + \int_{u_a}^u \Delta S(u, \mathbf{z}) du = y(u, \mathbf{z}_0) + \int_{u_a}^u \Delta S(u, \mathbf{z}) du$$



Bildquelle: F. Puente León: Messtechnik, 10. Auflage, Springer, 2015

© Michael Heizmann, IIT, KIT, alle Rechte einschließlich Kopier- und Weitergaberechte bei uns.

### 3.3 Kennlinienfehler bei Abweichungen von den Normalbedingungen

#### Deformierende Störgrößen

- Abschätzung der Empfindlichkeitsänderung durch Taylor-Reihe im Störgrößenabgleichpunkt  $\mathbf{z}_0$ :

$$\Delta S(u, \mathbf{z}) \approx \sum_k \frac{\partial S(u, \mathbf{z}_0)}{\partial z_k} \Delta z_k$$

- Damit absoluter Kennlinienfehler:

$$F_{\text{def}} = \Delta y = y - y(u, \mathbf{z}_0) = \sum_k \int_{u_a}^u \frac{\partial S(u, \mathbf{z}_0)}{\partial z_k} \Delta z_k \, du$$

- Relativer deformierender Kennlinienfehler, bezogen auf Anzeigewert:

$$F_{\text{r,def}} = \frac{y - y(u, \mathbf{z}_0)}{y(u, \mathbf{z}_0) - y_{a0}} = \frac{\sum_k \int_{u_a}^u \frac{\partial S(u, \mathbf{z}_0)}{\partial z_k} \Delta z_k \, du}{\int_{u_a}^u S(u, \mathbf{z}_0) \, du}$$

### 3.3 Kennlinienfehler bei Abweichungen von den Normalbedingungen

#### Deformierende Störgrößen

- Abschätzung des relativen deformierenden Kennlinienfehlers:

Konstante Empfindlichkeit im Messbereich:  $S(u, z_0) \approx S_{i0}$ ,

Konstante Empfindlichkeitsänderungen:  $\frac{\partial S(u, z_0)}{\partial z_k} \approx \frac{S_i(z_k) - S_{i0}}{\Delta z_k} = \frac{\Delta S_i(z_k)}{\Delta z_k}$

- Damit wird

$$F_{r, \text{def}} = \frac{\sum_k \int_{u_a}^u \frac{\partial S(u, z_0)}{\partial z_k} \Delta z_k du}{\int_{u_a}^u S(u, z_0) du} \approx \frac{1}{S_{i0}} \sum_k \Delta S_i(z_k)$$

- Einfluss einer einzelnen deformierenden Störgröße  $z_k$  auf die Steigung der Messkennlinie, bezogen auf Anzeigewert, der sich bei Berücksichtigung einer zusätzlichen superponierenden Störgröße  $z_j$  ergibt:

$$\begin{aligned} F_{r, \text{def}} &= \frac{\Delta S_i(z_k)}{S_{i0}} = \frac{S_i(z_k) - S_{i0}}{S_{i0}} = \frac{[y_e(z_k) - y_a(z_j)] - [y_e(z_j) - y_a(z_j)]}{y_e(z_j) - y_a(z_j)} \\ &= \frac{[y_e(z_k) - y_a(z_j)] - [y_{e0} - y_{a0}]}{y_{e0} - y_{a0}} \end{aligned}$$

### 3.3 Kennlinienfehler bei Abweichungen von den Normalbedingungen

#### Deformierende Störgrößen

- Jetzt Überlagerung eines superponierenden Fehlers  $\Delta z_j$  und eines deformierenden Fehlers  $\Delta z_k$

- Taylor-Reihenentwicklung im Störgrößenabgleichpunkt  $\mathbf{z}_0$ :

$$y = y(u, \mathbf{z}_0) + \frac{\partial y(u, \mathbf{z}_0)}{\partial z_j} \Delta z_j + \frac{\partial y(u, \mathbf{z}_0)}{\partial z_k} \Delta z_k$$

- Für lineare Kennlinien:

$$y = y_{a0} + S_i(u - u_a) + \underbrace{\Delta e(z_j)}_{\text{superponierender Fehler}} + \underbrace{\frac{\Delta S_i(z_k)}{S_{i0}} S_{i0}(u - u_a)}_{\text{deformierender Fehler}}$$
$$= y(u, \mathbf{z}_0) + [y_a(z_j) - y_{a0}] + \frac{[y_e(z_k) - y_a(z_j)] - [y_{e0} - y_{a0}]}{y_{e0} - y_{a0}} S_{i0}(u - u_a)$$

### 3.3 Kennlinienfehler bei Abweichungen von den Normalbedingungen

#### Deformierende Störgrößen

- Damit relativer Fehler bezogen auf die Anzeigespanne:

$$F_r = \frac{y - y(u, \mathbf{z}_0)}{y(u, \mathbf{z}_0) - y_{a0}} = \frac{y_a(z_j) - y_{a0}}{S_{i0}(u - u_a)} + \frac{[y_e(z_k) - y_a(z_j)] - [y_{e0} - y_{a0}]}{y_{e0} - y_{a0}}$$

d. h. Superposition von superponierendem und deformierendem Fehler

- Diese Definition strebt für den Messanfang  $u_a$  gegen unendlich, daher wird der relative Fehler auch auf den Anzeigebereich bezogen:

$$\begin{aligned} F_{rA} &= \frac{y - y(u, \mathbf{z}_0)}{y_{e0} - y_{a0}} = \frac{y_a(z_j) - y_{a0}}{y_{e0} - y_{a0}} + \frac{[y_e(z_k) - y_a(z_j)] - [y_{e0} - y_{a0}]}{y_{e0} - y_{a0}} \\ &= \frac{y_e(z_k) - y_{e0}}{y_{e0} - y_{a0}} \end{aligned}$$



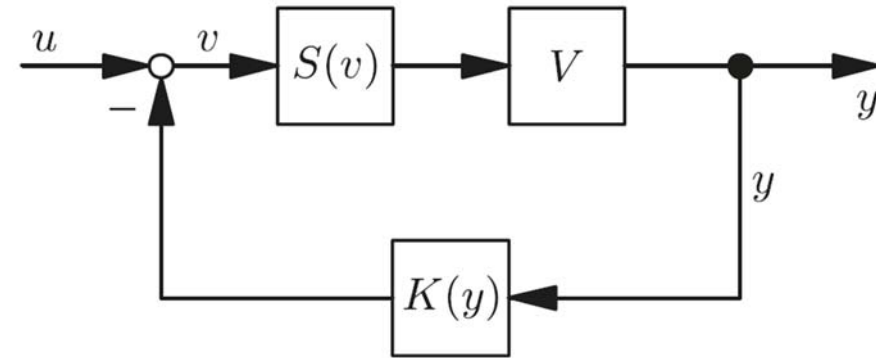
### 3.3 Kennlinienfehler bei Abweichungen von den Normalbedingungen

#### Deformierende Störgrößen bei Gegenkopplung

- Ziel: Einfluss einer deformierenden Störgröße  $z_k$  auf die Steigung  $S_i$  der Messkennlinie durch Gegenkopplung reduzieren

- Messkennlinie des gegengekoppelten Messsystems:

$$y = \frac{u}{K'} \frac{1}{1 + \frac{1}{K' S_i V}}$$



- Deformierende Störung: Empfindlichkeit des Messglieds ändert sich im Messbereich durch die deformierende Störung:

$$S_i(z_k) = S_{i0} + \Delta S_i(z_k)$$

- Änderung der Kennlinie bedingt durch Änderung von  $S_i$  (Quotientenregel anwenden):

$$\frac{\partial y}{\partial S_i} = u \frac{V}{(1 + K' S_i V)^2}$$

### 3.3 Kennlinienfehler bei Abweichungen von den Normalbedingungen

#### Deformierende Störgrößen bei Gegenkopplung

- Abschätzung des Kennlinienfehlers durch Taylor-Reihenentwicklung:

$$y = y(S_{i0}) + \left. \frac{\partial y}{\partial S_i} \right|_{S_{i0}} \Delta S_i(z_k) + \dots$$
$$\approx u \frac{S_{i0} V}{1 + K' S_{i0} V} \left( 1 + \frac{1}{1 + K' S_{i0} V} \frac{\Delta S_i(z_k)}{S_{i0}} \right)$$

- Relativer Fehler:

$$F_{rG,def} = \frac{y - y(S_{i0})}{y(S_{i0})} = \frac{1}{1 + K' S_{i0} V} \frac{\Delta S_i(z_k)}{S_{i0}}$$

- Verhältnis des relativen Fehlers zum nicht gegengekoppelten System

$$(F_{r,def} = \frac{\Delta S_i(z_k)}{S_{i0}}):$$

$$\frac{F_{rG,def}}{F_{r,def}} = \frac{1}{1 + K' S_{i0} V}$$

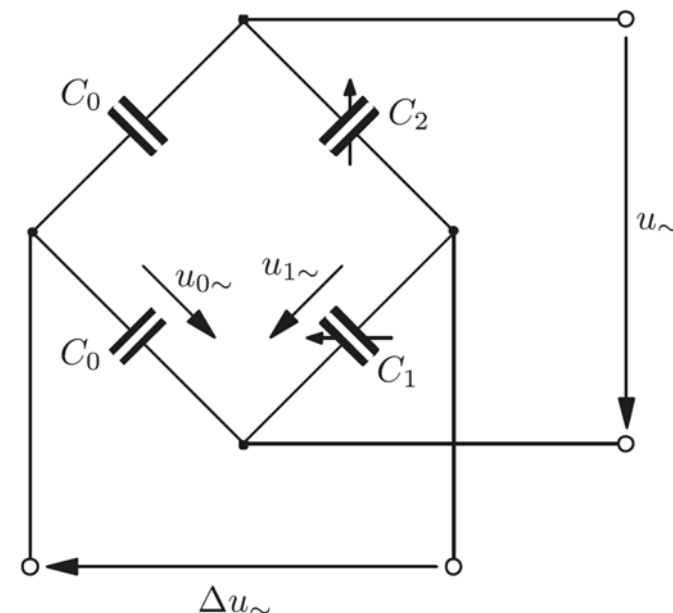
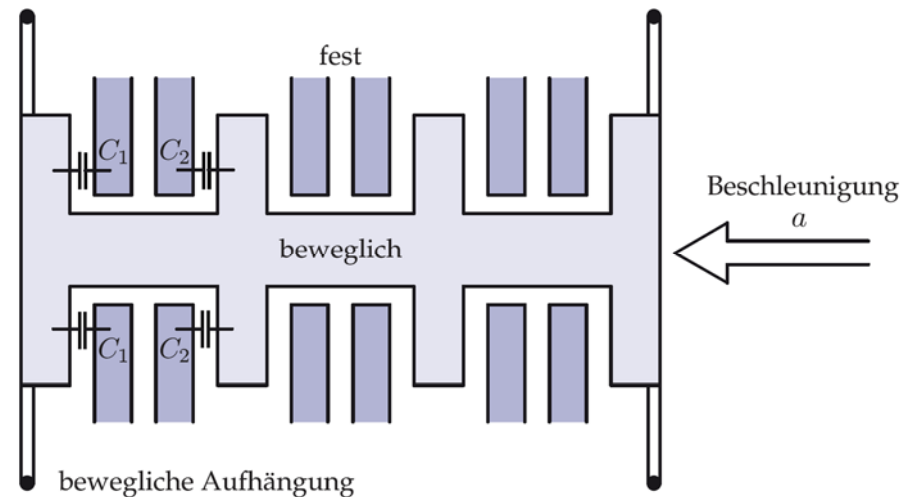
d. h. relativer Fehler wird um die Verstärkung des offenen Kreises reduziert

### 3.3 Kennlinienfehler bei Abweichungen von den Normalbedingungen

#### Deformierende Störgrößen bei Gegenkopplung

- Beispiel: Kapazitiver Beschleunigungssensor (s. o.)

- Empfindlichkeit:  $S_i = \frac{|u_{\sim}|}{2cd}$ ,  
abhängig von der  
Wechselspannung  $|u_{\sim}|$ ,  
mit der die Brücke gespeist wird
- damit deformierende Störgröße:  
 $|u_{\sim}|$



### 3.3 Kennlinienfehler bei Abweichungen von den Normalbedingungen

#### Deformierende Störgrößen bei Gegenkopplung

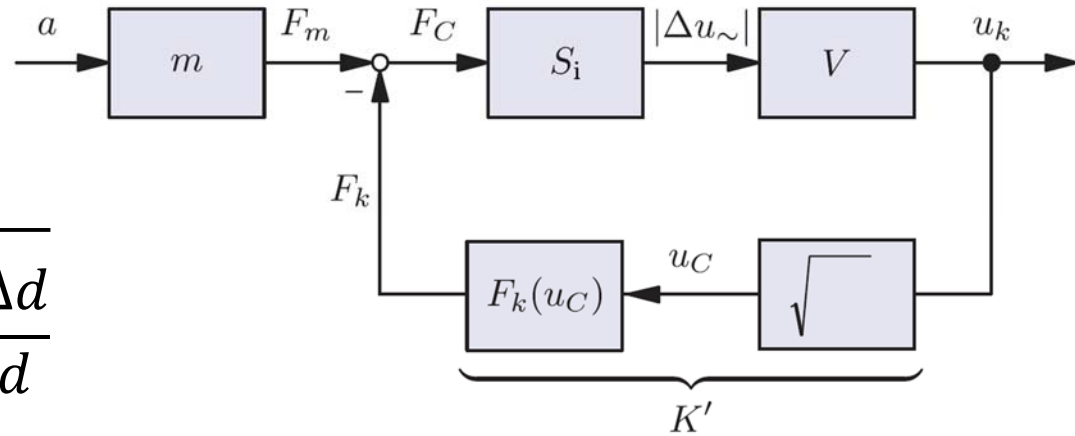
- Beispiel: Kapazitiver Beschleunigungssensor (s. o.)

- Jetzt Gegenkopplung mit dem nichtlinearen Übertragungsglied

$$u_C = \sqrt{V |\Delta u_{\sim}|} = \sqrt{V \frac{1}{2} \frac{|u_{\sim}|}{c} \frac{\Delta d}{d}}$$

zur Reduktion des Einflusses von  $|u_{\sim}|$

- Resultierende Gesamtübertragungsfunktion  $K'$  der Rückführung soll linear sein und bewirken, dass durch Rückkopplung der verstärkten Ausgangsspannung  $u_k$  auf die Kammstruktur eine kompensierende Anziehungskraft  $F_k$  ausgeübt wird, die diese in die Nulllage zurückholt und die Beschleunigungskraft  $F_m$  ausgleicht



Bildquelle: F. Puente León: Messtechnik, 10. Auflage, Springer, 2015

© Michael Heizmann, IIT, KIT, alle Rechte einschließlich Kopier- und Weitergaberechte bei uns.

### 3.3 Kennlinienfehler bei Abweichungen von den Normalbedingungen

#### Deformierende Störgrößen bei Gegenkopplung

- Beispiel: Kapazitiver Beschleunigungssensor

- Verteilung der rückgeführten Spannung  $u_c$  auf die beiden Kondensatoren  $C_1$  und  $C_2$ :

$$u_{C1} = \frac{1}{2} \left( 1 + \frac{\Delta d}{d} \right) u_c = \frac{1}{2} \left( 1 + \frac{\Delta d}{d} \right) \sqrt{V \frac{1}{2} \frac{|u_{\sim}|}{c} \frac{\Delta d}{d}}$$

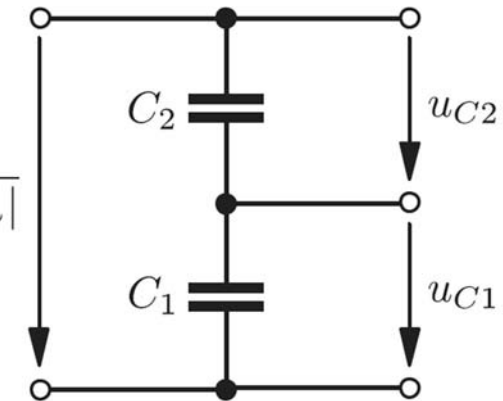
$$u_{C2} = \frac{1}{2} \left( 1 - \frac{\Delta d}{d} \right) u_c = \frac{1}{2} \left( 1 - \frac{\Delta d}{d} \right) \sqrt{V \frac{1}{2} \frac{|u_{\sim}|}{c} \frac{\Delta d}{d}}$$

- Energie der Kondensatoren:

$$E_{1,2} = \frac{1}{2} C_{1,2} u_{C1,2}^2 = \frac{C_0 V}{16} |u_{\sim}| \left( 1 \pm \frac{\Delta d}{d} \right) \frac{\Delta d}{d}$$

- Kräfte auf die Kondensatoren durch Ableitung der Energie nach  $\Delta d$ :

$$F_{k1,2} = \frac{C_0 V}{8} |u_{\sim}| \left( \frac{1}{2d} \pm \frac{\Delta d}{d^2} \right)$$



Bildquelle: F. Puente León: Messtechnik, 10. Auflage, Springer, 2015

© Michael Heizmann, IIT, KIT, alle Rechte einschließlich Kopier- und Weitergaberechte bei uns.

### 3.3 Kennlinienfehler bei Abweichungen von den Normalbedingungen

#### Deformierende Störgrößen bei Gegenkopplung

- Beispiel: Kapazitiver Beschleunigungssensor
  - Differenz dieser Kräfte zieht die Kondensatorplatten in Richtung Nullage zurück:

$$F_k = F_{k1} - F_{k2} = \frac{C_0 V}{4d} |u_{\sim}| \frac{\Delta d}{d} = \frac{C_0 V}{2d} |\Delta u_{\sim}| = \frac{C_0}{2d} u_k = K' u_k$$

- Gesamtübertragungsfunktion der Rückführung:

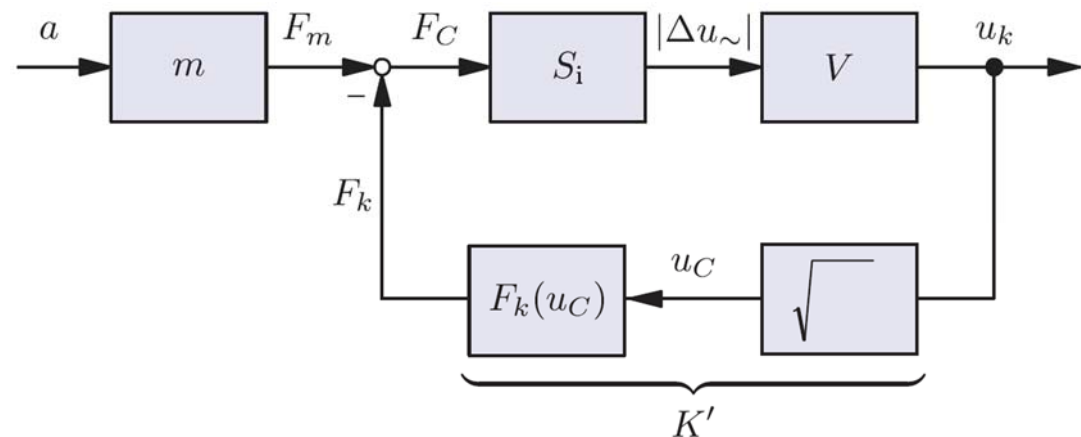
$$K' = \frac{C_0}{2d}$$

d. h. Proportionalglied

- Kräftegleichgewicht im stationären Zustand:

$$F_m = F_C + F_k$$

$$\begin{aligned} ma &= c\Delta d + \frac{C_0}{2d} u_k \\ &= \frac{c2d}{|u_{\sim}|} \frac{u_k}{V} + \frac{C_0}{2d} u_k \end{aligned}$$



### 3.3 Kennlinienfehler bei Abweichungen von den Normalbedingungen

---

#### Deformierende Störgrößen bei Gegenkopplung

- Beispiel: Kapazitiver Beschleunigungssensor

- Kräftegleichgewicht im stationären Zustand:

$$F_m = ma = F_c + F_k = \frac{c2d}{|u_{\sim}|} \frac{u_k}{V} + \frac{C_0}{2d} u_k$$

- Bei großer Verstärkung:

- Auslenkung  $\Delta d \approx 0$

- $F_c \approx 0 \Rightarrow F_m \approx F_k$

- Empfindlichkeit: Inverse Übertragungskonstante der Rückführung:

$$u_k = \frac{1}{K'} F_m = \frac{2md}{C_0} a$$

- Schwankungen der Speisespannung  $|u_{\sim}|$  und der Federsteifigkeit  $c$  gehen nur noch um den Verstärkungsfaktor  $V$  reduziert ein
      - Lithographische Fertigung: gute Einhaltung von  $m$ ,  $d$ ,  $C_0$

### 3.3 Kennlinienfehler bei Abweichungen von den Normalbedingungen

#### Superponierende Störgrößen bei Gegenkopplung

- Frage: Ist eine Reduzierung einer additiven Störung  $z$  durch eine Gegenkopplung möglich?

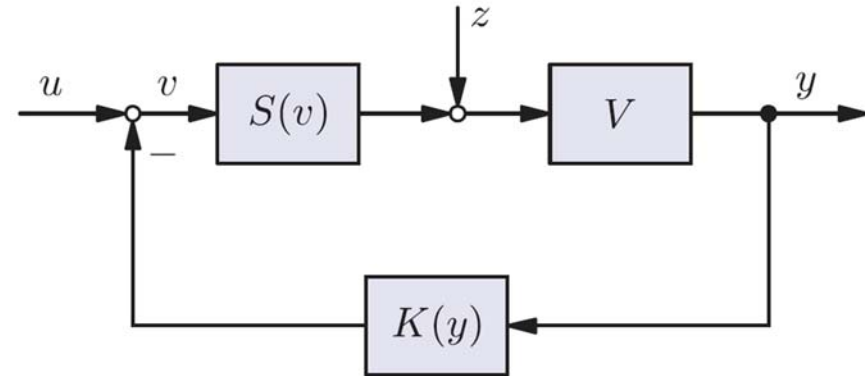
- Bei großer Verstärkung:

$$vS(v) + z \approx 0 \Rightarrow v = -\frac{z}{S(v)}$$

$$v = u - K(y) \Rightarrow y = K^{-1}(u - v) \\ = K^{-1}\left(u + \frac{z}{S(v)}\right)$$

d. h.  $z$  geht (um  $S(v)$  reduziert) in das Ergebnis  $y$  ein

- Grundsätzlich: Superponierende Störgrößen lassen sich durch eine Gegenkopplung nicht vollständig eliminieren



Bildquelle: F. Puente León: Messtechnik, 10. Auflage, Springer, 2015

© Michael Heizmann, IIT, KIT, alle Rechte einschließlich Kopier- und Weitergaberechte bei uns.



## 3.3 Kennlinienfehler bei Abweichungen von den Normalbedingungen

### Kompensation systematischer Störeinflüsse

- Hier: Kompensation des Einflusses einer dominanten Störgröße  $z$  auf die Ausgangsgröße  $y$
- Korrekturmöglichkeit: Kennfeldinterpolation (siehe Kap. 2.3)
- Anstelle der bisher verwendeten physikalischen Kennlinie  $y = f(u)$  wird jetzt zusätzlich die Abhängigkeit von der dominanten Störgröße  $z$  betrachtet und vorab in einem Kennfeld gespeichert:

$$y = f(u, z)$$

- Bei der Messung: Erfassung der Messgröße  $u$  und der Störgröße  $z$
- Bilineare Interpolation (s. o.):

$$y(u, z) \approx y(u_i, z_j) + \frac{\Delta y(u_i)}{\Delta u_i} \Delta u + \frac{\Delta y(z_j)}{\Delta z_j} \Delta z + \frac{\Delta^2 y(u_i, z_j)}{\Delta u_i \Delta z_j} \Delta u \Delta z$$

d. h. fortlaufende Adaption der Ausgangsgröße an die sich ändernde Störgröße

- Damit sind reproduzierbare und genaue Messergebnisse erzielbar, wenn der Einfluss der Störgröße bekannt ist

## 3.3 Kennlinienfehler bei Abweichungen von den Normalbedingungen

---

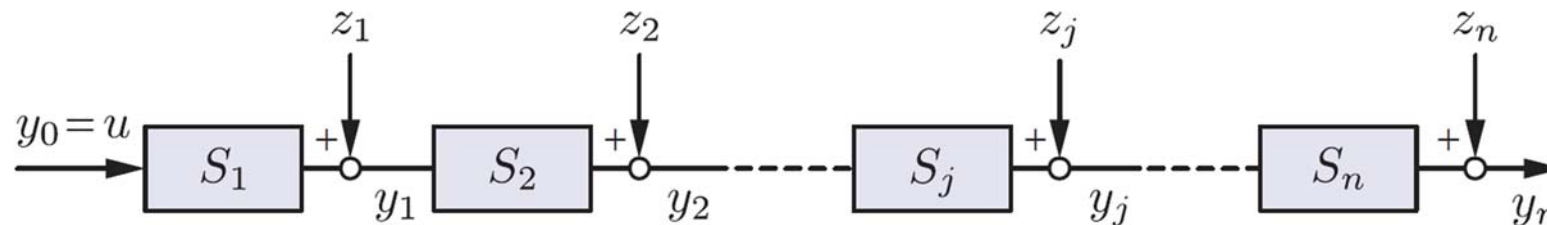
### Abschirmung

- Abschirmung: Fernhalten von Störgrößen vom Messsystem
- Beispiele:
  - Thermostatisierung (Temperaturregelung) zur Unterdrückung eines Temperatureinflusses
  - Luftdichte Verpackung zur Unterdrückung des Einflusses von Luftfeuchte
  - Elektrische und magnetische Abschirmung
- Erzeugt häufig erheblichen (Hardware-)Aufwand

### 3.3 Kennlinienfehler bei Abweichungen von den Normalbedingungen

#### Superponierende Störgrößen in Messketten

- Signal  $u(t)$  wird in einer Messkette übertragen
- An den Schnittstellen sind jeweils Störungen  $z_j$  additiv überlagert



- Damit Kennlinie des  $j$ -ten Gliedes (Annahme: lineare Kennlinien  $S_j$ ):

$$y_j = S_j y_{j-1} + z_j$$

- Kennlinie der gesamten Messkette:

$$y_n = (S_n S_{n-1} \cdots S_1) u + (S_n S_{n-1} \cdots S_2) z_1 + \cdots + S_n z_{n-1} + z_n$$

- Absoluter Fehler:

$$F = y_n - u \prod_{j=1}^n S_j = \sum_{j=1}^{n-1} \left( \prod_{k=j}^{n-1} S_{k+1} \right) z_j + z_n$$

- Beitrag eines Übertragungsgliedes zum Fehler ist damit abhängig von seiner Position in der Kette

### 3.3 Kennlinienfehler bei Abweichungen von den Normalbedingungen

#### Superponierende Störgrößen in Messketten

- Relativer Fehler bezogen auf den Anzeigebereich  $dy(u = d)$ :

$$\begin{aligned} F_{rA} &= \frac{F}{y} = \frac{\sum_{j=1}^{n-1} (\prod_{k=j}^{n-1} S_{k+1}) z_j + z_n}{d \prod_{j=1}^n S_j} = \frac{1}{d} \sum_{j=1}^{n-1} \frac{z_j}{\prod_{k=1}^j S_k} \\ &= \frac{z_1}{S_1 d} + \frac{z_2}{S_1 S_2 d} + \dots + \frac{z_n}{S_1 S_2 \dots S_n d} \\ &= \sum_{j=1}^n F_{rAj} \end{aligned}$$

d. h. additive Überlagerung der relativen Fehler der einzelnen Glieder

## 3.3 Kennlinienfehler bei Abweichungen von den Normalbedingungen

---

### Superponierende Störgrößen in Messketten

- Anwendungsfall mehrstufiger Verstärker ( $S_j > 0$ ):
  - Fehler wird reduziert, wenn die erste Stufe eine möglichst hohe Verstärkung aufweist:  $S_1 \gg S_j, j > 1$
  - In der ersten Stufe möglichst hochwertige Verstärker einsetzen, die wenig von superponierenden Störgrößen (z. B. Drift) beeinflusst werden
  - Höherer Aufwand der Signalverarbeitung in der ersten Stufe, z. B. Differenzschaltung, Thermostatisierung, Zerhacker (siehe unten)

## 3.3 Kennlinienfehler bei Abweichungen von den Normalbedingungen

### Superponierende Störgrößen in Messketten

- Beispiel: Zweistufiger Verstärker
  - Zwei Stufen mit gleicher Verstärkung  $S_a = S_b = 30$
  - Stufe a: Nullpunktdrift 0,5 mV
  - Stufe b: Nullpunktdrift 1 mV

- Anordnung a – b:

$$F = \sum_{j=1}^{n-1} \left( \prod_{k=j}^{n-1} S_{k+1} \right) z_j + z_n = (30 \cdot 0,5 + 1) \text{ mV} = 16 \text{ mV}$$

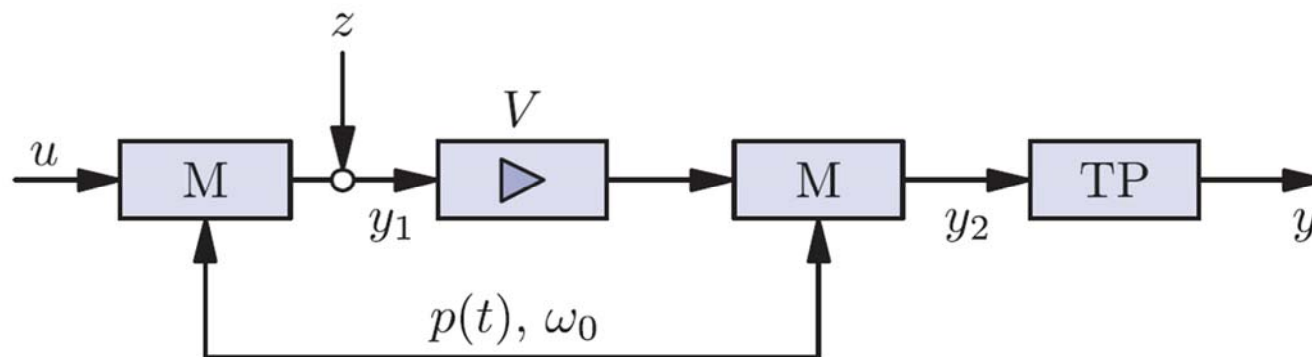
- Anordnung b – a:

$$F = (30 \cdot 1 + 0,5) \text{ mV} = 30,5 \text{ mV}$$

### 3.3 Kennlinienfehler bei Abweichungen von den Normalbedingungen

#### Zerhackerverstärker (engl. Chopper amplifier)

- Modulationsverstärker zur driftfreien Verstärkung kleiner Gleichspannungen
- Genutzt insbesondere zur Unterdrückung des Einflusses temperaturabhängiger Offsetschwankungen am Verstärkereingang (z. B. von Operationsverstärkern)
- Dazu Modulation des niederfrequenten Eingangssignals  $u$  zu höheren Frequenzen

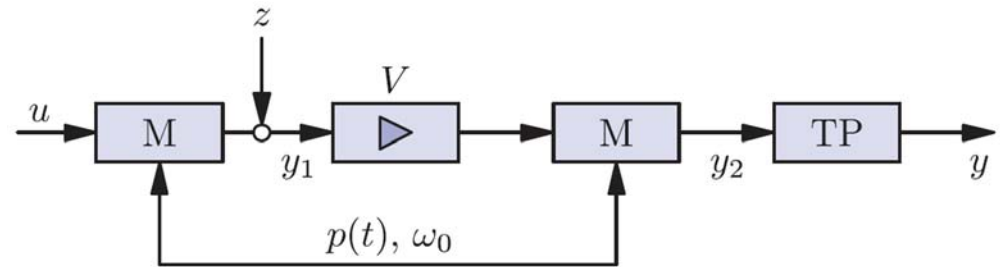


- Modulatoren M: zeitgleich angesteuert

### 3.3 Kennlinienfehler bei Abweichungen von den Normalbedingungen

#### Zerhackerverstärker (engl. Chopper amplifizier)

- Erste Modulation:  
Multiplikation des Eingangssignals mit einem mittelwertfreien Rechtecksignal  $p(t)$  mit Frequenz  $\omega_0 = \frac{2\pi}{T}$

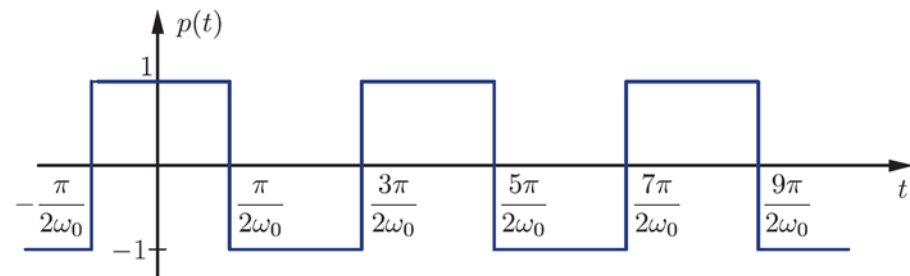


- Störung wird nicht moduliert:

$$y_1(t) = u(t) \cdot p(t) + z(t)$$

- Zweite Modulation von  $y_1$  mit  $p(t)$ :

$$y_2(t) = Vy_1(t)p(t) = Vu(t) \underbrace{p^2(t)}_{=1} + Vz(t)p(t) = Vu(t) + Vz(t)p(t)$$



d. h. Eingangssignal  $u(t)$  wird unverzerrt übertragen, Störung  $z(t)$  wird mit der mittelwertfreien Umschaltfunktion  $p(t)$  moduliert

- Störung kann daher mit Tiefpass eliminiert werden
- Umschaltfunktion selbst erzeugt keine Störung, da  $\int_0^T p(t) dt = 0$



## 3.3 Kennlinienfehler bei Abweichungen von den Normalbedingungen

---

### Zerhackerverstärker (engl. Chopper amplifier)

- Im Folgenden: Betrachtung des Zerhackerverstärkers im Frequenzbereich
- Dazu Vereinfachung der Umschaltfunktion (Vernachlässigung höherfrequenter Anteile und von Vorfaktoren):

$$p(t) \approx \cos(\omega_0 t)$$

### 3.3 Kennlinienfehler bei Abweichungen von den Normalbedingungen

---

#### Zerhackerverstärker (engl. Chopper amplifier)

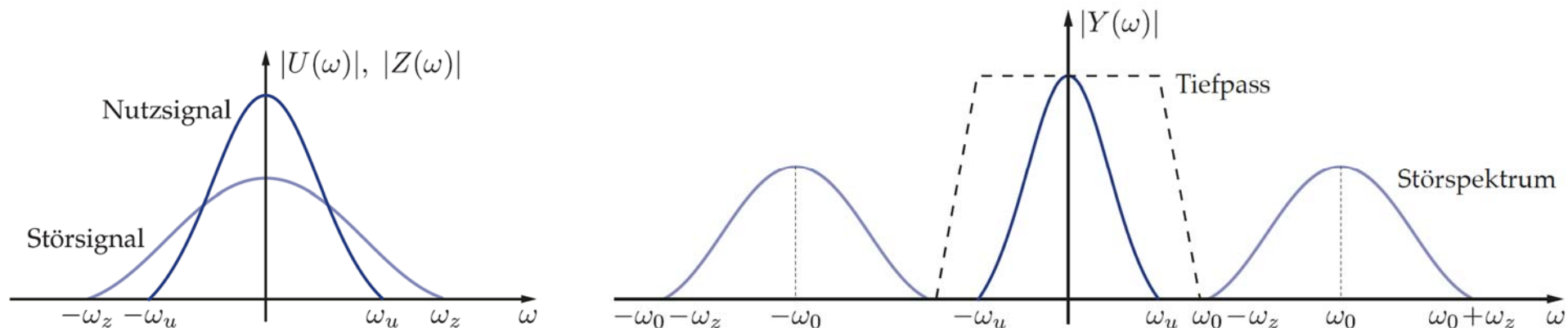
- Betrachtung im Frequenzbereich der Fourier-Transformation:
  - Erste Modulation:
    - Multiplikation des Eingangssignals  $u(t)$  mit Umschaltfunktion  $p(t)$ :  
Faltung von  $U(\omega)$  mit  $P(\omega)$  im Frequenzbereich
    - Spektrum  $P(\omega)$ : nur eine Frequenz, d. h. Delta-Impulse bei  $\pm\omega_0$
    - Damit Spektrum von  $y_1(t) = u(t) \cdot \cos(\omega_0 t) + z(t)$ :  
$$Y_1(\omega) = \frac{1}{2}U(\omega - \omega_0) + \frac{1}{2}U(\omega + \omega_0) + Z(\omega)$$

### 3.3 Kennlinienfehler bei Abweichungen von den Normalbedingungen

#### Zerhackerverstärker (engl. Chopper amplifier)

- Zweite Modulation (mit  $\cos^2 x = \frac{1}{2} + \frac{1}{2} \cos(2x)$ ):
  - $$y_2(t) = V u(t) \cos^2(\omega_0 t) + V z(t) \cos(\omega_0 t)$$
$$= \frac{V}{2} u(t) + \frac{V}{2} u(t) \cos(2\omega_0 t) + V z(t) \cos(\omega_0 t)$$
  - $$Y_2(\omega) = \frac{V}{2} U(\omega) + \frac{V}{4} U(\omega \pm 2\omega_0) + \frac{V}{2} Z(\omega \pm \omega_0)$$

d. h. weitere Verschiebung des Störspektrums  $Z(\omega)$  um  $\pm\omega_0$ ,  
zusätzliches Auftreten des Nutzsignals bei  $\pm 2\omega_0$



### 3.3 Kennlinienfehler bei Abweichungen von den Normalbedingungen

#### Zerhackerverstärker (engl. Chopper amplifier)

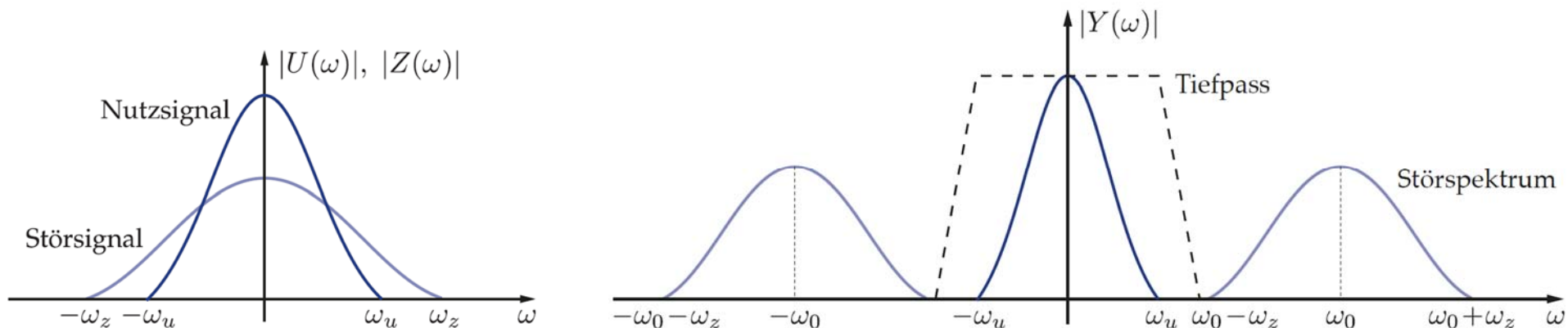
- Tiefpassfilterung der hochfrequenten Anteile mit

$$|T(\omega)| = \begin{cases} 1 & \text{für } |\omega| \leq |\omega_u| \\ 0 & \text{für } |\omega| > |\omega_0| - |\omega_z| \end{cases}$$

- Damit wird

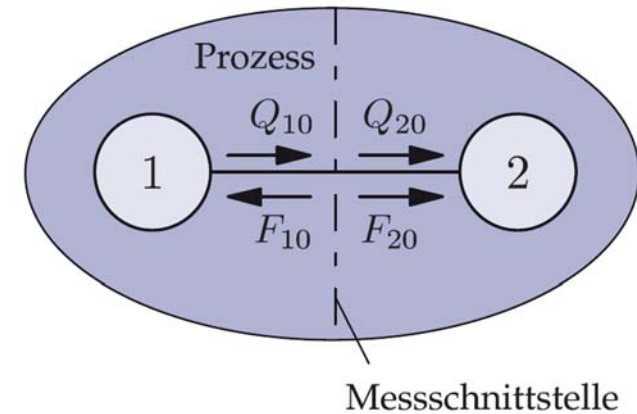
$$Y(\omega) = Y_2(\omega) \cdot T(\omega) = \frac{V}{2} U(\omega)$$

- Zur Vermeidung spektraler Überlappungen:  $\omega_0 > \omega_u + \omega_z$ ,  
d. h. nutzbare Signalbandbreite ist eingeschränkt

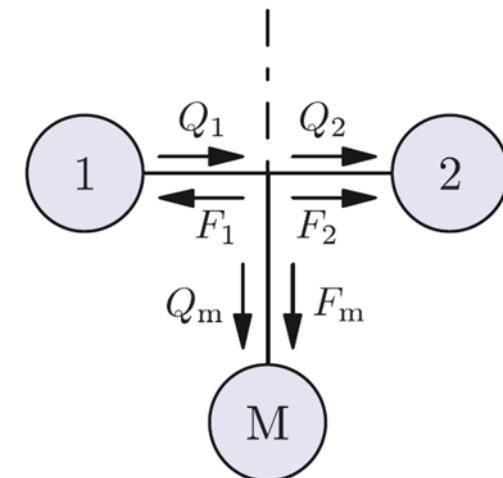


## 3.4 Rückwirkung des Messsystems

- Messvorgang: Durch den Abgriff einer Messgröße findet ein Energiefluss zwischen Prozess und Messsystem statt
- Ursprüngliche Messgröße kann dadurch verfälscht werden
- Zerlegung des Prozesses in Teil 1 und Teil 2 durch eine Messschnittstelle
- Dort Austausch von verallgemeinerten Größen „Kraft“  $F$  und „Fluss“  $Q$  (z. B. Spannung und Strom, Federkraft und Auslenkung)
- Messgröße im Folgenden: verallgemeinerte Kraft  $F_1$



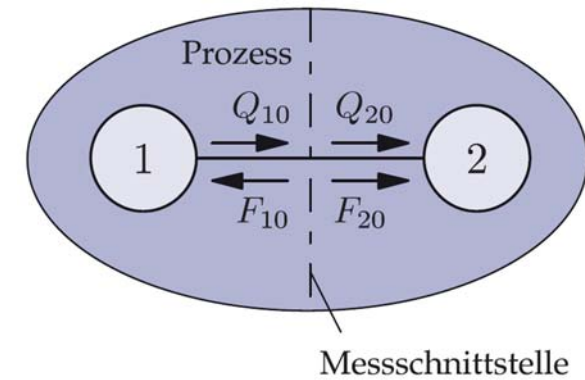
Prozess ohne Messsystem



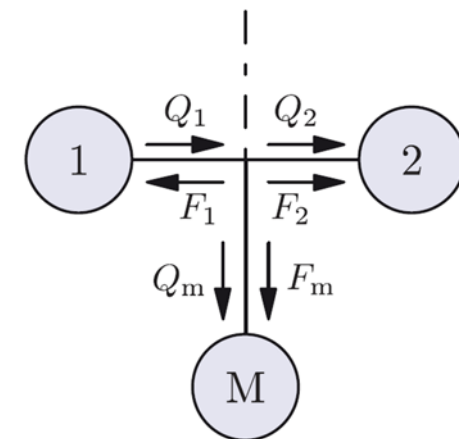
Prozess mit Messsystem  $M$

### 3.4 Rückwirkung des Messsystems

- Fluss ohne Messsystem:  $Q_{10} = Q_{20}$
- Fluss mit Messsystem:  $Q_1 = Q_2 + Q_m$   
bzw.  $Q_{10} + \Delta Q_1 = Q_{20} + \Delta Q_2 + Q_m$
- Kraft ohne Messsystem:  $F_{10} = -F_{20}$
- Kraft mit Messsystem:  $F_1 = -F_2 = -F_m$



Prozess ohne Messsystem



Prozess mit Messsystem  $M$

- Physikalische Gesetzmäßigkeiten im Prozess ergeben Zusammenhänge zwischen Kraft und Fluss in der Form  
 $Q_i = f_i(F_1, F_2, \dots)$
- Kleine Abweichungen der Flussgrößen  $\Delta Q_i$ :  
näherungsweise berechenbar durch  
Differential  $\frac{\partial Q_i}{\partial F_i} \Delta F_i$
- Annahme: linearer Zusammenhang im Messsystem  $F_m = Q_m W_m$   
 $W_m$ : könnte z. B. Innenwiderstand des Messsystems sein

### 3.4 Rückwirkung des Messsystems

- Aus Flussgleichung  $Q_{10} + \Delta Q_1 = Q_{20} + \Delta Q_2 + Q_m$ :

$$\frac{\partial Q_1}{\partial F_1} \Delta F_1 = \frac{\partial Q_2}{\partial F_2} \Delta F_2 + \frac{F_m}{W_m}$$

- Mit  $F_1 = -F_2 = -F_m$ :

$$\frac{\partial Q_1}{\partial F_1} \Delta F_1 = -\frac{\partial Q_2}{\partial F_2} \Delta F_1 - \frac{F_1}{W_m}$$
$$\Rightarrow \frac{\Delta F_1}{F_1} = -\frac{1}{W_m} \left( \frac{\partial Q_1}{\partial F_1} + \frac{\partial Q_2}{\partial F_2} \right)^{-1}$$

d. h. durch den Energie-/Leistungsverbrauch des Messsystems ändert sich die Messgröße  $F_1$  um  $\Delta F_1$

- Analoge Beziehungen, falls der verallgemeinerte Fluss die Messgröße ist

### 3.4 Rückwirkung des Messsystems

- Beispiel: Spannungsmessung an einem Spannungsteiler

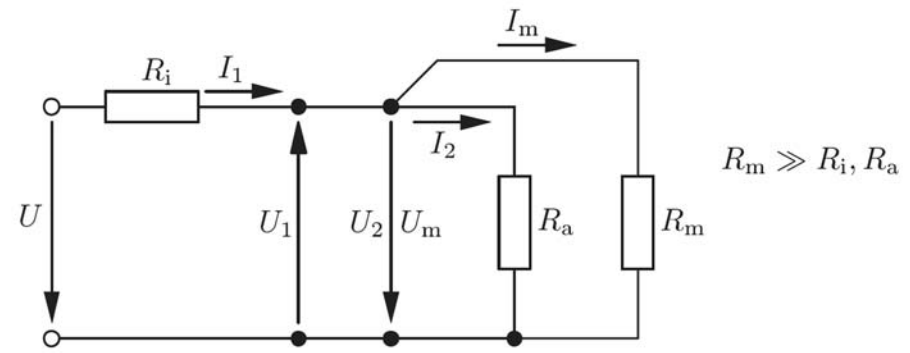
- Messeinrichtung parallel zu  $R_a$  mit Innenwiderstand  $R_m$

- Entsprechungen:  $F_1 = U_1$ ,  $Q_1 = I_2$ ,  
 $W_m = R_m$ ,  $\frac{\partial Q_1}{\partial F_1} = \frac{1}{R_i}$ ,  $\frac{\partial Q_2}{\partial F_2} = \frac{1}{R_a}$

- Daraus folgt mit  $\frac{\Delta F_1}{F_1} = -\frac{1}{W_m} \left( \frac{\partial Q_1}{\partial F_1} + \frac{\partial Q_2}{\partial F_2} \right)^{-1}$ :

$$\frac{\Delta U_1}{U_1} = -\frac{1}{R_m} \left( \frac{1}{R_i} + \frac{1}{R_a} \right)^{-1}$$

- Fehler geht also gegen Null, wenn  $R_m \rightarrow \infty$ ,  
d. h. hochohmiges Messgerät bei Spannungsmessung  
(analog: niederohmiges Messgerät bei Strommessung)
  - Exakte Rechnung: zusätzlicher Term  $\frac{1}{R_m}$  im Nenner,  
denn Formel oben ist nur Näherung (wg. Abbruch der Taylor-Reihe nach dem linearen Glied)



Bildquelle: F. Puente León: Messtechnik, 10. Auflage, Springer, 2015

© Michael Heizmann, IIT, KIT, alle Rechte einschließlich Kopier- und Weitergaberechte bei uns.



## 3.4 Rückwirkung des Messsystems

- Beispiel: Längenmesstaster

- Länge eines Werkstücks soll gemessen werden: Messgröße  $x$

- Längenmesstaster mit Charakteristik  $F_m = c_m x_m$

- Werkstück: Federkonstante  $c$  mit  $c \gg c_m$

- Ohne Anlegen des Messtasters: Kraft im Werkstück  $F_0 = 0$

- Stabiler Arbeitspunkt:  $x = x_m$

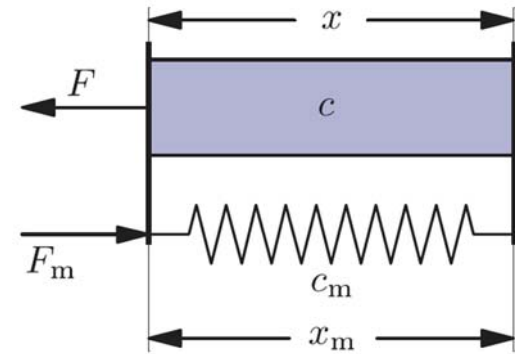
- Kräftegleichgewicht:  $F = -F_m$  bzw.  $\underbrace{F_0 + \Delta F}_{= 0} = -F_m$

- Entwicklung der Kraftänderung nach dem Weg:  $\Delta F = -F_m$ ,

$$\frac{\partial F}{\partial x} \Delta x = -c_m x$$

- Mit  $\frac{\partial F}{\partial x} = c$ :  $\frac{\Delta x}{x} = -\frac{c_m}{\frac{\partial F}{\partial x}} = -\frac{c_m}{c}$

- Für  $c \gg c_m$  ist die Wegänderung erwartungsgemäß klein



Bildquelle: F. Puente León: Messtechnik, 10. Auflage, Springer, 2015

© Michael Heizmann, IIT, KIT, alle Rechte einschließlich Kopier- und Weitergaberechte bei uns.